令和6年度 食品衛生基準科学研究費補助金(食品安全科学研究事業) 香料を含む食品添加物の遺伝毒性評価スキームの構築に関する基盤研究

分担研究課題名: in silico手法を用いた香料スクリーニング評価法の提案

研究分担者 古濱 彩子 国立医薬品食品衛生研究所 ゲノム安全科学部

研究分担者 本間 正充 国立医薬品食品衛生研究所 所長

研究分担者 杉山 圭一 国立医薬品食品衛生研究所 ゲノム安全科学部

### 研究要旨

本研究課題では、変異原性のリスクを予測・評価するためのスキームの確立を目指す目的で、国内での使用量の多い 200 香料について、QSAR 予測結果と国内外の遺伝毒性情報を収集・整理を実施した。

4種類のQSAR モデル全てで陰性であるのは8割であった。遺伝毒性試験情報については、132香料で何等かの遺伝毒性試験結果の情報を得ることができた。42香料でAmes 試験陽性 (equivocal を含む) の懸念が見られたが、全ての情報ソースで陽性のAmes 試験結果が確認できたのは16香料であり、陰性・陽性が混在している香料も存在した。Ames変異原性QSAR予測結果との比較や、陽性陰性の混在状況を加味すると信頼性の担保に課題がある。特に、今回はUS EPAのCompToxの情報を安全サイドの基準で収集したため、判定基準の精査と、試験情報の収集と確認・精査が必要である。その一方、今回用いた4モデルの予測が全て陰性で、Ames試験情報が全ての情報源で陽性になった物質(偽陽性物質)とその類似の構造を有する物質については、情報の精査を行うことで、今後優先して評価が必要であると提言でき、その類似構造の提案がスクリーニング方法の原案につながる。

#### A. 研究目的

香料等の食品添加物の遺伝毒性スクリーニング評価には、in silico手法を用いることが効率的で妥当である。例えば、Ames変異原性については、定量的構造活性相関(QSAR)を用いた評価はICH M7ガイダンス等で示される通り、規制目的での活用が進んでいる。リードアクロス手法(類似の化学物質群の毒性に関する情報から、毒性情報の乏しい化学物質の毒性を推定する方法のひとつ。https://www.fsc.go.jp/yougoshu/kensaku\_hyouka.html#item360より引用)も規制目的での活用がすすめられている。本研究課題では、QSARは、実試験を必要とせず遺伝毒性を予測しうる点で画期的な技術である

が、更にリードアクロス手法の活用を検討する。*in silico*評価を順次行なって、変異原性のリスクを予測・評価するためのスキームの確立を目指す。

令和6年度は、既存のデータや基本情報を整理するため、使用量の多い200香料について、QSAR予測結果と国内外の遺伝毒性情報を収集・整理し、課題点を明らかにすることを目的として研究を進めた。

#### B. 研究方法

# これまでの研究の経緯

我が国における香料の使用実態から、優先 的に遺伝毒性評価を実施することが望まし いと考えられる香料を選定するための基盤 構築と情報収集は、令和4年度から厚生労働 科学研究費補助金「香料を含む食品添加物 の遺伝毒性から発がんに至る毒性評価スキ ーム確立に向けた基盤的研究」の分担課題 「エピジェネティックな影響を含むファー ストスクリーニング系としての遺伝毒性評 価スキーム確立に向けた基盤研究」より開 始していた。当該課題では、令和4年度には、 2020年(令和2年)1~12月において国内で 実際に使用された18類香料のデータ(出典: 令和 3 年度厚生労働科学研究費補助金(食 品の安全確保推進研究事業)「食品添加物の 安全性確保に資する研究」分担研究「食品添 加物の摂取量推計及び香料規格に関する研 究」資料 4「香料化合物使用量調査結果」) を活用し、類ごと、および 18 類香料に属す る香料品目ごとの使用量の傾向について調 べて整理されていた。令和5年度は、2020年 1~12月に日本で使用された香料化合物(個 別指定のものを除く) のうち、使用量の多い 順番に50番目までの物質については、構造 情報を整備し、QSAR予測と国内のデータベ ースにおける毒性情報の収集を行い、考察 をおこなっていた。QSAR予測は、知識(ル ール) ベースはLhasa Limited社 (UK) の DEREK Nexus (ver. 6.2.1, Nexus 2.5.2), 及び統計ベースはMultiCASE社(USA)の CASE Ultra (GT1\_BMUTモデル、ver. 1. 9.0.2) を用いた。既存毒性情報については、 国内のデータベースに限定して収集を行っ ていた。

#### QSAR評価

令和6年度においては、年間使用量の多い5 0香料から200香料に整備をする対象を広げ た。また、QSAR予測結果もルールベースの QSARはDerek Nexusに加えてブルガリア OASIS TIMES 2.33.1の2つのモデルAme s mutagenicity v.20.20 (non-kinetic mo del) 並びにAmes Mutagenicity S9 activ ated kinetic v.05.05 (kinetic model)の結 果を整理する対象とした。kinetic model (速度論的モデル) と non-kinetic model (非速度論的モデル、従来のTIMESのモデ ル) の概要と評価結果は、厚生労働科学研 究費補助金「インシリコ予測技術の高度化・ 実用化に基づく化学物質のヒト健康リスク の評価ストラテジーの開発」の分担課題「代 謝予測モデルの改良によるMoAに基づいた in vivo遺伝毒性予測性の向上に関する研 究」の令和2年度研究報告書に記載されてい る。TIMESでは、in vitro Ames negative を陰性、in vitro Ames positiveを陽性と し、Domain判定も一部加味した。統計べ一 スQSARのCASE Ultraの結果と合わせて4 種類のQSAR予測結果を整理することとし た。なお、Derek NexusとCASE Ultraの QSARのバージョンは、最新版のもので再 計算をおこなっておりDEREK Nexusは、 Nexus 2.6.0 (Derek KB 2023 1.0) Dere k Nexus 6.3.0, CASE Ultralt, CASE U ltra 1.9.0.4 GT1\_BMUT1.9.0.2.13760.50 0を用いた。Derek NexusではEQUIVOCA L、PLAUSIBLE、PROBABLEを陽性、IN ACTIVEを陰性と判断した。CASE Ultraで は、今回の解析においてはPositive (陽性確 率Prob>50%) 、Known Positive、Inconc lusive (Prob:40~50%) を陽性、Negative (Prob<40%)、Known Negativeを陰性と した。なお、モデルのバージョンが令和5年 度から更新されたことにより、Inconclusiv eの閾値が変更されていた。

### 遺伝毒性試験の収集

遺伝毒性情報ついては、国内情報源として 既存化学物質毒性データベース(https://dr a4.nihs.go.jp/mhlw\_data/jsp/SearchPage.j sp)の復帰突然変異(Ames)試験・ほ乳類染 色体異常試験・インビボ小核試験・マウスリ ンフォーマTK試験・ヒトリンパ芽球TK6試 験・トランスジェニックげっ歯類を用いた 遺伝子突然変異(TG)試験、職場のあんぜん サイト(https://anzeninfo.mhlw.go.jp/user /anzen/kag/sokatutbl.htm)のAmes試験・ 染色体異常試験を調査対象とした。国外に ついては、US EPAのCompTox <https://c omptox.epa.gov/dashboard/> Ver.2.4.1で 収集したAmes試験情報、Ames試験以外の in vitro遺伝毒性試験情報、iv vivo遺伝毒性試験情報を調査した。CompToxでは、データベース上に少なくとも1つの陽性(equi vocal)の報告があれば陽性、すべて陰性の報告のものを陰性とした。更に書誌情報Ono et al. 2012. Food Chem. Toxic. 50, 153 8-1546.とHansen et al. 2009. J. Chem. Inf. Model. 49, 2077–2081.の香料のAme s試験データも収集対象とした。

### (倫理面の配慮)

本研究では動物を用いた実験は実施しない。

# C. 研究結果

# **200 香料のデータの整理**

年間使用量の多い 200 番目までの香料のう ち、39番目(以下使用量番号39番と呼ぶ、 以下同様)(5or6)-decenoic acid、使用量番 号 191 番 6-[(5or6)-decenoyloxy]decanoic acid については、使用量番号 39 番は 5decenoic acid と 6- decenoic acid の両方、 使用量番号 191 番は 6-[5decenoyloxy]decanoic acid decenoyloxy]decanoic acid の両方の構造を QSAR の対象とした。一方、使用量番号 131 番の butter esters は QSAR の対象とする 構造を得ることができないため QSAR の対 象から除外した。本報告書では、200香料の うち 199 香料の 201 構造を評価対象とした。 なお、令和5年度の報告書では、使用量番 号 45 番の ethyl 2-[(5-methyl-2-propan-2ylcyclohexanecarbonyl)aminolacetate は 光学異性体の考慮の有無でそれぞれ 2 構造 を有したため、それぞれの構造で QSAR を 実施したが、光学異性体の有無で結果が変 わらないことから、光学異性体ありを入力 とした QSAR 予測結果を用いた。

### QSAR 予測

Derek Nexus では、184 物質(92%)が陰性、17 物質(8%)が陽性の予測だった。陰性は全て、No misclassified or unclassified features のコメントを有し、信頼度の高い陰性予測であるといえた。CASE Ultra で

は、181 物質(90%)が陰性、19 物質(9.5%) が陽性、1 物質(0.5%)が Out of Domain の予測であった。TIMES v.05.05 (kinetic model)では、ドメインを考慮しない場合は、178 物質(88.6%)が陰性、23 物質(11.4%)が陽性であった。ドメインを考慮した場合の結果は図1の通りであり、85%の物質がドメイン内での予測が可能であった。TIMES v.20.20 (non-kinetic model)では、ドメインを考慮しない場合は、180 物質(89.6%)が陰性、21 物質(10.4%)が陽性であった。ドメインを考慮した場合の結果は図2の通りであり、85%の物質がドメイン内での予測が可能であった。

4 モデルの予測結果をまとめた概要を表 1 に示す。8 割の構造 (香料) において 4 種類の QSAR モデル全てで陰性であり、Derek Nexus と CASE Ultra が両方陰性は 88%になった。

なお、2つの構造を加味した、使用量番号 39と使用量番号 190の香料の QSAR 予測結果は、4種類のモデル全てで陰性であった。以降の遺伝毒性試験情報を加味した議論では、使用量番号 39と使用量番号 190の香料は4種類のモデルで陰性の区分で扱うこととした。この定義の場合、200香料のうち、4種類のモデル全てで陰性(「QSAR 陽性なし」)は159香料、少なくとも1つの QSARで陽性あり又は統計ベースでのOut of Domain は40香料(「QSAR 陽性あり」)と規定された。Butter ester が QSAR 対象外のため、「QSAR 陽性あり」と「QSAR 陽性なし」の和は199だった。

#### 遺伝毒性試験収集

200 香料中、三分の二に相当する 132 香料で何等かの遺伝毒性試験結果の情報を得ることができた。得られた情報の内訳については表 2 の通りであった。21%の 42 香料において、Ames 試験陽性(equivocal を含む)の懸念が見られたが、情報源によって陰性・陽性が混在しており、脚注にも記載したようにすべてのソースで陽性のみの Ames 試験結果と確認できたのは約 4 割の 16 香料

であり、陰性・陽性が混在している香料も存在した。

「QSAR 陽性あり」の概要は図 3 の通りで あり、「Ames 試験陽性(equivocal を含む)」 は、15香料存在するが、少なくとも1件で も Ames 試験陽性の報告が含まれているも のをカウントした。全ての試験報告で陽性 であったのは7香料であり、全て小野らの 論文で陽性 (equivocal を含む) の報告があ った物質に該当する。更にこの 7 香料のう ち6香料は4種類すべてのQSAR予測で陽 性であった。同様に、「QSAR 陽性なし」の 概要は図4の通りであり、「Ames 試験陽性 (equivocal を含む)」は、27 香料存在する が、少なくとも1件でもAmes 試験陽性の 報告が含まれているものをカウントした。 全ての試験報告で陽性であったのは9香料 であり、8香料が CompTox の収集結果での み陽性と定義された。

#### D. 考察

香料のスクリーニング評価は使用量の多く、 遺伝毒性などの有害性の懸念が高い物質か ら実施していくことが妥当である。使用量 の多い200香料について、QSARで評価した 所、9割弱の香料の構造において、2つの相補 的な統計ベース・ルールベースのQSARモデ ルで陰性予測であり、8割の香料の構造が4 種類のQSARモデルで陰性となった。一方で、 国内外の遺伝毒性情報源から実試験データ を収集したところ、三分の二の香料で情報 が得られた。しかしながら、Ames/QSAR予 測結果との比較や、陽性陰性の混在状況を 加味すると信頼性の担保に課題がある。特 に、今回はCompToxの情報を安全サイドの 基準で収集したが、判定基準の精査と、試験 情報の収集と確認・精査が必要であると考 えられる。課題はあるものの、今回用いた4 モデルの予測が全て陰性で、Ames試験情報 が全ての情報源で陽性になった物質(偽陽 性物質)とその類似の構造を有する物質は、 情報精査を行うことで、今後優先して評価

が必要であると提言でき、スクリーニング 方法の原案につながる。

#### E. 結論

200香料についてAmes/QSAR評価と既存 毒性情報収集を行った。前年度までよりも 広範囲の調査により、QSAR陰性で既存情 報がAmes試験陽性の香料に対しては留意 が必要であり、今後優先して評価する際の 判断基準につながる知見が得られた。

#### F. 健康危険情報

該当なし

#### G. 研究発表

G-1. 論文発表 該当なし

# G-2. 学会発表

- 1. <u>古濱彩子、本間正充、杉山圭一</u>:「効率 的な香料の遺伝毒性評価スキーム構築 のための*in silico*手法の活用に関する 研究」第51回日本毒性学会学術年会 (2023年7月5日福岡) ポスター発表
- 2. Furuhama A, Kameyama A, Honma M, Sugiyama K: 「In silico mutagenicity assessments of furan compounds related to flavor」The SOT 64th Annual Meeting and ToxExpo (2025年3月17日米国オーランド) ポスター発表

#### H. 知的財産権の出願・登録状況

H-1. 特許取得 該当なし

H-2. 実用新案登録 該当なし

T 0 7 0 1

<u>H-3.その他</u>

該当なし

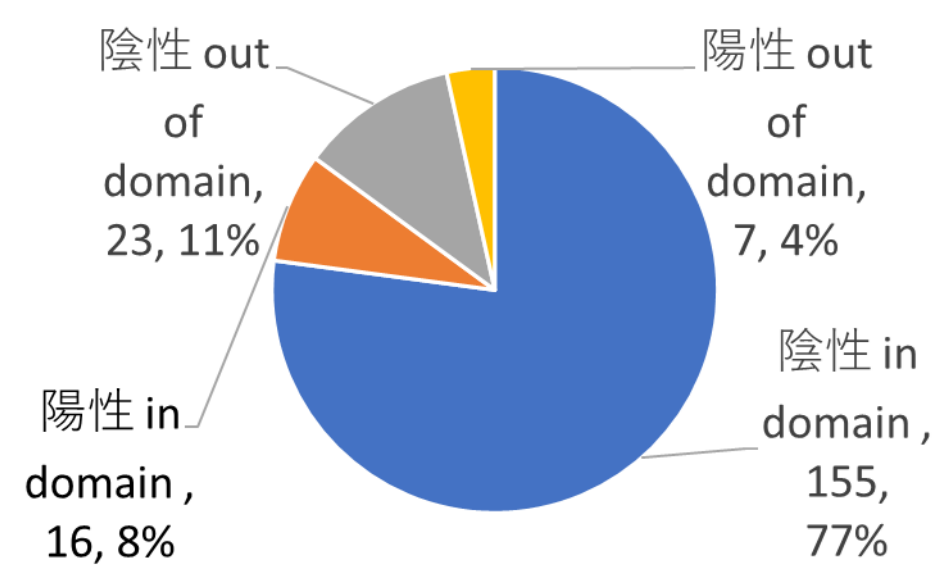


図1. TIMES v.05.05 (kinetic model)での予測結果の概要

TIMES では陽性と陰性の判断と共にトータルドメインが予測結果とともに提示される。本文に示した通り、QSAR 不能の 1 物質並びに 1 物質に 2 構造が存在する 2 物質を加味し、199 香料の 201 構造を評価対象とした。

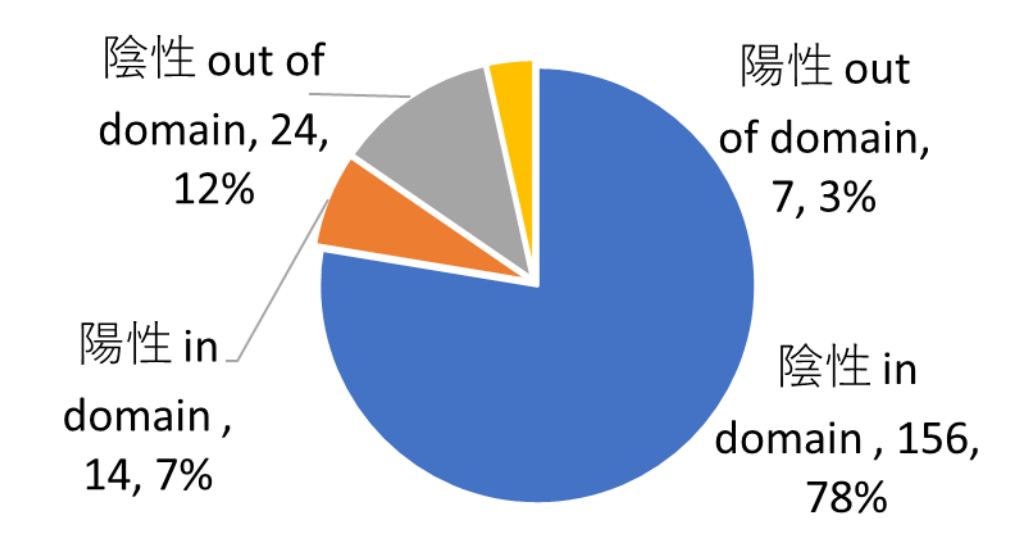


図 2. TIMES v. 20. 20 (no-kinetic model)での予測結果の概要 図 1 における注釈を参照のこと

別添 4

概要	化学構造数[割合(%)] <sup>†2</sup>
4モデル共に陰性 <sup>†1</sup>	161 [80.1]
TIMES v.05.05のみ陽性 <sup>†1</sup>	9 [4.5]
TIMES v.20.20のみ陽性 <sup>†1</sup>	4 [2]
TIMES 2モデルのみ陽性 <sup>†1</sup>	2 [1]
全てのモデルで陽性	8 [4]
統計ベースのみ陽性	5 [2.5]
統計ベースのみ陰性	3 [1.5]
Derek Nexusのみ陽性	2 [1]
DerekとTIMES v.05.05のみ陰性	2 [1]
TIMES v.05.05のみ陰性	2 [1]
TIMES v.20.20のみ陰性	1 [0.5]
統計ベースOut of Domain・他は陰性	1 [0.5]
TIMES 2モデルのみ陰性	1 [0.5]

<sup>†1</sup> Derek Nexus と CASE Ultraの両方で陰性の物質、176 [87.6%]が該当した。

# 表 2. 遺伝毒性試験収集結果の概要(使用量番号 200 までの 200 香料を対象)\*

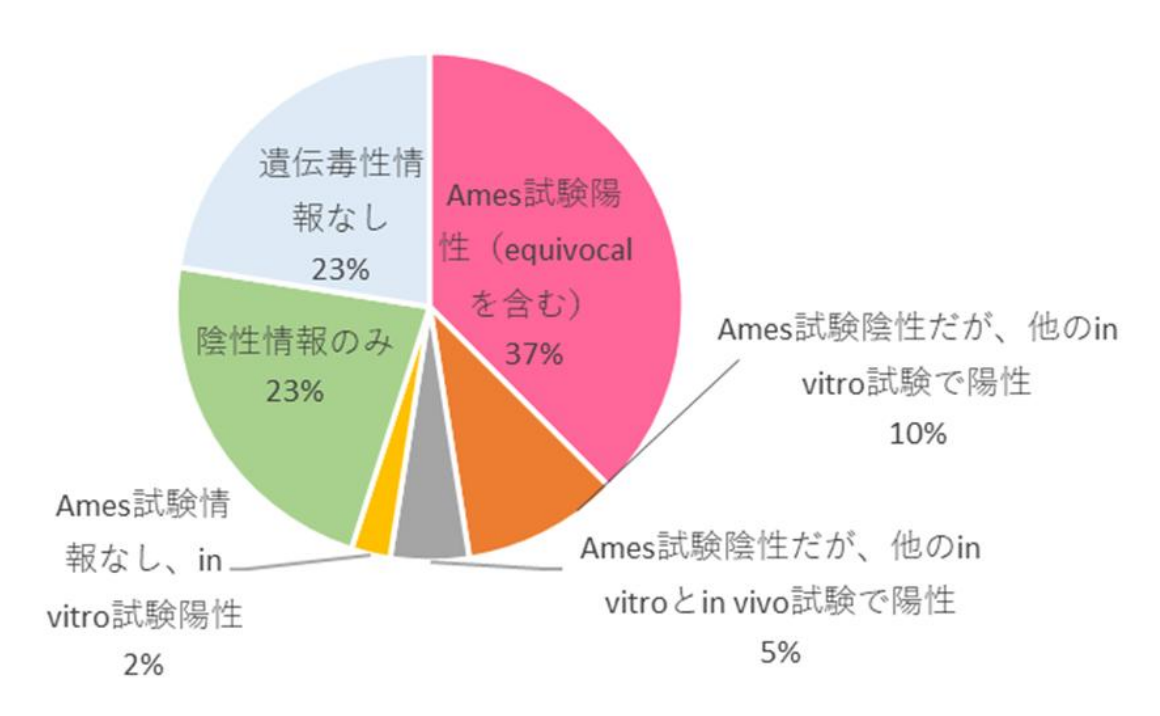
収集結果	香料数 [割合(%)]
Ames試験陽性(equivocalを含む)	42 [21]
Ames試験陰性だが、他の <i>in vitro</i> 遺伝毒性 試験で陽性	17 [8.5]
Ames試験陰性だが、他の <i>in vitro</i> 遺伝毒性 試験と <i>in vivo</i> 遺伝毒性試験で陽性	5 [2.5]
Ames試験陰性だが。他のin vitro遺伝毒性 試験陽性ではあるがin vivo遺伝毒性試験 陰性	1 [0.5]
Ames試験情報なし、 <i>in vitro</i> 遺伝毒性試験 陽性	3 [1.5]
陰性情報のみ	64 [32]
遺伝毒性情報なし	68 [34]

<sup>\* 「</sup>Ames 試験陽性 (equivocal を含む)」は、少なくとも 1 件でも Ames 試験陽性の報告が含まれているものをカウント。全ての Ames 試験報告で陽性の報告であったのは 16 香料。

<sup>†2 200</sup> 香料(使用量番号 200 までの香料)のうち、1 香料(Buter ester)が QSAR に必要な構造が得られず、評価対象外とし、2 香料については 2 種類の構造が対象となった。200-1 (対象外) + 2 (2 香料の構造追加) = 201 構造が QSAR 評価対象となる。

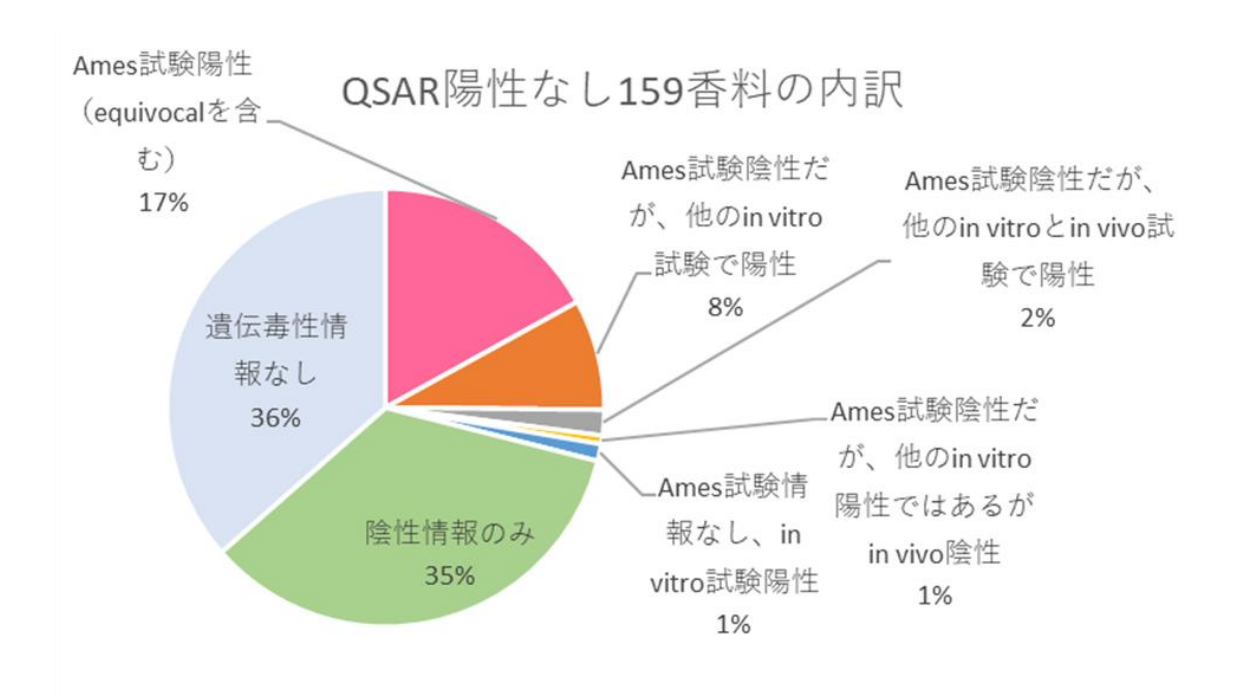
別添 4

# QSAR陽性ありの40香料の内訳



# 図3.「QSAR 陽性あり」の毒性試験情報

今回評価対象とした 4 種類の Ames 変異原性予測 QSAR で 1 つ以上陽性または、統計ベースで Out of Domain の評価になった 40 香料を対象とした。「Ames 試験陽性 (equivocal を含む)」は、15 香料存在するが、少なくとも 1 件でも Ames 試験陽性の報告が含まれているものをカウント。全ての試験報告で陽性であったのは 7 香料。



# 図 4. 「QSAR 陽性なし」の毒性試験情報

今回評価対象とした4種類のAmes変異原性予測QSARで全てのモデルの予測結果が陰性と定義された159香料を対象とした。

「Ames 試験陽性 (equivocal を含む)」は、27 香料存在するが、少なくとも 1 件でも Ames 試験陽性の報告が含まれているものをカウント。全ての試験報告で陽性であったのは 9 香料。

# 令和 6 年度 食品衛生基準科学研究費(食品安全科学研究事業) 分担研究報告書

研究課題名:香料を含む食品添加物の遺伝毒性評価スキームの構築に関する基盤研究

分担研究課題名:グルタチオン補充による第Ⅱ相薬物代謝を評価に入れたin vitro遺伝 毒性試験の構築

研究分担者: 安井 学 国立医薬品食品衛生研究所 ゲノム安全科学部 室長

研究分担者: 本間 正充 国立医薬品食品衛生研究所 所長

研究分担者: 杉山 圭一 国立医薬品食品衛生研究所 ゲノム安全科学部 部長

### 研究要旨

グルタチオン(GSH)は、生体の細胞中に高濃度(1~10 mM)で存在し、遺伝毒性物質の解毒機序に深く関与している。しかし、GSH による解毒機序は遺伝毒性物質毎にスクリーニングされておらず、遺伝毒性評価に考慮されていない。ヒトリンパ芽球細胞 TK6 株を用いる  $in\ vitro\$ チミジンキナーゼ遺伝子突然変異試験(TK6 試験)における、ラット肝 S9mix を含む被験物質処理液中の GSH 濃度を測定したところ 2  $\mu$ M(TK6 細胞内は 5  $\mu$ M (1000 pmol/10 $^6$  cells))であった。本  $in\ vitro\$ 試験条件は生体内ではあり得ない低い GSH 濃度であり、この変則的な条件が  $in\ vivo\$ と  $in\ vitro\$ 間の遺伝毒性試験結果の予測精度低下の原因の一つと考えられた。前研究班において、Ames 試験陽性だが  $in\ vivo\$ 遺伝子変異試験陰性の 4-メチル-2-ペンテナール(4MP)に対して GSH 補充型 TK6 試験(GSH-TK6 試験)を実施した結果、4MP は TK6 試験で弱い陽性だったが、1 mM 補充した GSH-TK6 試験では陰性となった。

本研究では、GSH と同じチオール基を有するジチオトレイトール(DTT)を添加した TK6 試験を実施し、4MP の解毒機序を考察した。また、GSH-TK6 試験のコントロール物質としてシクロホスファミドの基礎データを取得した。その結果、シクロホスファミドは GSH-TK6 試験の対照物質として利用可能であること、そして、DDT 非添加群の 4MP による変異体頻度は明確に上昇したが、添加群のそれはそうではなかった(陰性判定)。つまり、グルタチオン S-トランスフェラーゼは、GSH 自体の求核性よりも高いチオラートイオン(GS-)を生成するため、その関与が濃厚であるが、DTT の抗酸化作用だけでも 4MP の遺伝毒性を抑制できることが明らかとなった。以上のように、in vitro 遺伝毒性試験で GSH 解毒機序を理解することは、遺伝毒性評価の精緻化やフォローアップに有用であることが示唆された。

キーワード: TK6 細胞、チミジンキナーゼ遺伝子突然変異試験、グルタチオン

大きな影響を与え、適切なフォローアップが必 要となるが、in vivo トランスジェニック動物を 用いる試験 (TG 試験) は負担が大きいと考えら れる。少なくともその陽性反応がバクテリア特 異的反応である場合、ヒトへの外挿性が低いこ とを証明し、無駄な in vivo 試験を避けることが できる可能性がある。一方、Ames 試験と発がん 性の特異性 (Specificity; Ames 試験陰性で発がん 性陰性) は 80%程度で有り (Kirkland et al., Mutat Res 584, 1-256 (2005))、これは Ames 試験陽性で 発がん性陰性であるものは比較的少ないこと を示している。それでも、バクテリア特異的な 陽性反応が存在し、ヒトの発がんと無関係なも のは除外すべきである。典型的なバクテリア特 異的な陽性反応の例としては、AMP397で報告 されるようなバクテリア特異的ニトロリダク ターゼ反応がある (Suter et al., Mutat Res 518, 181-194 (2002))。この酵素が Ames 試験の変異 原性に強く関与する場合、他の遺伝毒性試験で は陰性を示すことが多く、発がん性のリスクは 低い。また、Ames 試験は復帰型の突然変異検出 系であるため、特定の DNA 配列以外に変化さ せるような塩基変異や大きな欠失を検出する ことができない問題がある。

本間らは、Ames/QSAR 予測で変異原性が強く疑われた 10 種類の食品香料について、実際の Ames 試験を行ったところ、9 化合物で陽性を示し、Ames/QSAR による変異原性香料物質の陽性予測率は90 % (9/10) であることを報告した(Honma et al., Genes and Environ. 42:32 (2020))。この結果は、香料の変異原性評価にQSAR 予測が十分に利用できることを示した。一方、Ames/QSAR 予測は、Ames 試験結果データを基にトレーニング・開発されており、もともと Ames 試験が持つ問題点を Ames/QSAR にも引き継いでいる可能性がある。

前研究班(厚生労働科学研究費補助金食品の 安全確保推進研究事業 21KA1001) において、 Ames/QSAR 予測で陽性、および Ames 実試験で 陽性(比活性 728;活性化条件下)を示す 4-メ チル-2-ペンテナール (4MP) に焦点を絞り、上 位試験であるヒトリンパ芽球細胞 TK6 株を用 いるチミジンキナーゼ遺伝子変異試験 (TK6 試 験)で調べた。その結果、Ames 試験で観察され たような明確な陽性ではなく、TK6 試験では非 代謝活性化条件下では陰性、代謝活性化条件下 において微弱な陽性反応が観察された。一方、 その 4MP に対するトランスジェニックマウス (MutaMouse) を用いる肝臓および腺胃におけ る遺伝子突然変異誘発性は陰性(国立医薬品食 品衛生研究所;令和4年度指定添加物の安全性 の見直しに関する調査研究(令和5年3月))で あり、先の Ames 試験等の陽性結果と矛盾して いる。つまり、4MPはAmes 菌株では強い陽性 反応を示すが、代謝が十分に働く個体動物を用 いる in vivo TG 試験では陰性になったと推測で きる。そして、代謝機能を十分に持たない in vitro TK6 試験では、4MP を完全に解毒できず、 結果的に弱い陽性反応を示したのではないか と予想した。そこで前研究班では、ラット肝 S9 中に含有するグルタチオン S-トランスフェラ ーゼ(GST)を機能させるためにグルタチオン (GSH) を補充する TK6 試験 (GSH-TK6 試験) を構築することから始め、4MPを試験した。そ の結果、代謝活性化条件下における 4MP の弱 い陽性反応は、GSH補充によって突然変異体頻 度が抑制され、統計的有意に陰性になることが 分かった。

本研究では、TK6 試験で使用される被験物質 処理液中、および TK6 細胞内の GST 活性を測 定すること、GSH-TK6 試験のコントロール物質 (シクロホスファミド) の基礎データを得ること、並びに、GSH 補充による GST の抱合作用と GSH 自体の抗酸化作用のどちらが寄与率が高いのか、GSH と類似構造を持つジチオトレイトール (DTT) を試験に用いて考察した。

# B. 研究方法

#### 1. 細胞と培養

ヒトリンパ芽球細胞 TK6 株は、10% 馬血清(サーモフィッシャー)、200  $\mu$ g/mL ピルビン酸ナトリウム(和光純薬工業㈱)、100 U/mL ペニシリン、100  $\mu$ g/mL ストレプトマイシン(ナカライテスク㈱)を含む RPMI 培地(ナカライテスク㈱)で培養された。培養は、37 度、5% CO2 濃度存在下で行った。

#### 2. GST 活性の測定

TK6 試験で使用される被験物質処理液中、TK6 細胞内の GST 活性を SensoLyte GST activity assay (AnaSpec, Inc.)の説明書に従って測定した。マイクロプレートリーダーは、TECAN INFINITE F PLEX(テカンジャパン株式会社)を使用した。

### 3. In vitro 小核試験

原則として OECD ガイドライン TG487 に従って実施した。被験物質の処理時間は 3 時間、回復時間は約 22 時間として小核標本を作製した。ラット肝 S9 とコファクターは、家田貿易株式会社から購入した。GSH および DTT は富士フィルム和光純薬工業から購入した。本研究では、4MP によって誘発される小核形成(DNA 損傷性)に対して、GSH がそのDNA 損傷性を 50%程度抑制できる補充量を求め、それと同等の DTT 添加量を探索した。

#### 4. TK6 試験

原則として OECD ガイドライン TG490 に従って行った。被験物質として、4MP は関東化学株式会社(ACROS organics 製) から購入した(Fig. 1)。用量設定試験から始め、本試験を実施した。処理細胞数は  $10^7$  細胞、処理時間は 4 時間で実施した。ラット肝 S9 とコファクターは、家田貿

易株式会社から購入した。GSH および DTT は富士フィルム和光純薬工業から購入した。GSH、および DTT の最終濃度は、それぞれ 1 mM、および 400 μM になるように処理液中に添加した。代謝活性化条件下のコントロール物質は、シクロホスファミド(CP)(東京化成工業株式会社)を使用した。GSH-TK6 試験の本試験の陰性対照群は2系列,処理群は1系列で実施した。形質発現期間は3日間とした。未処理群および4MPの変異体頻度(Mutant frequency; MF)の誘発性に関する有意差検定は、大森法(Omori et al., Mutat. Res. 517,199-208 (2002))の Dunnett 検定(有意水準 p < 0.05)を用いた。

# C. 研究結果、および考察

 TK6 細胞および S9 存在下処理液中の GST 活性

ラット肝 S9 mix を含む TK6 試験の被験物質 処理液中の GST 活性を測定した結果、検出限 界以下であった。また、TK6 細胞(10<sup>7</sup> cells)のペレットを取得して測定した結果も検出限 界以下であった。次に、100 μM GSH を添加して GST 活性を測定すると、被験物質処理液中および TK6 細胞内はそれぞれ 35.6 mU/μg proteins、および 2.79 mU/10<sup>7</sup> cells であった。すなわち、GSH を補充しない TK6 試験の実験条件では、GST 活性が機能していないことが明らかとなった。このような生体内ではあり得ない、in vitro 特異的条件があることから、in vivo と in vitro 間の遺伝毒性試験結果の矛盾を形成させる原因の一つと考えられた。

2. コントロール物質 CP の MF データ取得 CP は、GSH が関与する解毒作用で代謝されることが知られており、本研究の GSH-TK6 試験でも、GSH 補充群において CP の MF が抑制されると考えられる。CP をコントロール物質として利用可能か検討するために、5 μg/mL CP

に対して4 mM GSH を補充する TK6 試験を行い、背景データを取得した(n=4)。その結果、相対細胞生存率(Relative survival; RS)の平均値は、GSH 非補充群が 63.3±15.7%、GSH 補充群が 88.4±31.0%だった。少しデータがばらつくことがあったが、各実験の RS値は GSH 補充群の方が常に高く、細胞毒性を抑制していることが観察できた。また、MF の平均値は、GSH 非補充群が 20.6±5.6 x10<sup>-6</sup>、GSH 補充群が 8.6±2.5 x10<sup>-6</sup>だった。各実験の MFは GSH 非補充群よりも、補充群の方が常に半分以上抑制されており、CP が GSH 補充によって解毒されていることが確認できた。よって、CP は GSH-TK6 試験のコントロール物質として利用可能であることが分かった。

#### 3. DTT 添加量の設定

4MP が、TK6 細胞に対して約 60% (RPD) 程度の毒性を示す用量が 150 µM であり、この 用量を固定して、GSH 補充量と DTT 添加量を それぞれ変化させた小核試験を実施した(Fig. 2)。その結果、Fig. 2(A)のとおり、GSH 非補 充の小核形成は 1000 細胞中 22 個であるが、1 mM GSH 補充することで 11 個に減少させた (50%程度の抑制)。これと同じ抑制効果を持 つ DTT 添加量を調べると、Fig. 2(B)に示した 通り、400 µM(1000 細胞中 23 個から、400 μM DTT 添加時に 12 個に抑制) であることが 分かった。よって、DTT添加させるTK6試験 では、DTT 濃度を 400 μM で実施することにし た。なお、Fig. 2(B)下図のとおり、DTT 自体 は、1 mM 以上で細胞毒性を示すことが分かっ た(GSH は 8 mM であっても細胞毒性を示さ ないことを確認済みである)。

#### 4. GSH 補充の TK6 試験

前研究班(厚生労働科学研究費補助金食品の 安全確保推進研究事業 21KA1001) で、4MP を 用いて、300 μM を最高用量とする等差 50 μM の 300、250、200、150、0 μM の用量設定につ いて、GSH 非補充 (-GSH) の TK6 試験、およ び GSH 補充 (+GSH) する GSH-TK6 試験を実 施した (Supplementary Fig. 1)。 -GSH 群は、通 常の TK6 試験と同一であり、用量の 300 μM 処 理群のMF値は、約30x10<sup>-6</sup>まで上昇し、陽性 と判定された (300 µM 用量群は、強い細胞毒性 のため、MF プレートにまく細胞数が不足した 理由から、MF プレート1枚から算出された)。 これまでに実施した代謝活性化条件下の 4MP に対する TK6 試験結果は、再現性が良く、陽性 であることを確認している。一方、1 mM GSH 補充群の MF は、最高用量 300 μM 処理であっ ても低い値 (5.6 x 10<sup>-6</sup>) を示した (Supplementary Fig. 1)。すなわち、4MPは、-GSH 群では陽性 だが、わずか 1 mM GSH 補充 (+GSH 群) する だけで陰性(突然変異体誘発性の不活化)にな ることが分かった。

#### 5. DTT 添加の TK6 試験

1 mM GSH が小核形成を抑制できる作用と同 等と考えられる DTT の添加量は、Fig. 2(B)に示 した通り 400 μM であることから、400 μM DTT を添加する条件下で 4MP に対する TK6 試験を 行った。その結果、DTT 非添加群(-DTT)の RS 値は 300 μM 4MP の用量で 20%程度の細胞 毒性を示したが、DTT添加群(+DTT)のそれ は 60%程度に抑制された (Fig. 3(A))。また、そ れぞれの MF 値を比較すると、一DTT は 25 x 10-6に上昇し、未処理群のそれよりも統計的有意差 が認められた(陽性判定)。一方、+DTTのMF 値は、未処理群のそれと比較し、ほぼ同じレベ ルであり、統計処理の結果、陰性判定となった (Fig. 3(B))。再現性を確認するために、同じ実 験条件で確認試験を実施した結果、同様の試験 結果が得られた (Fig. 4)。

これらの結果から、DTT の抗酸化作用によっ

て 4MP の遺伝毒性が不活化されたことから、GSH においても同様の機序で 4MP の遺伝毒性が不活化されたと予想される。Fig. 5 に示したとおり、4MP は $\alpha$ , $\beta$ -不飽和アルデヒドであり、カルボニル基(C=O)と共役した二重結合を持っている。GSH のチオール基が、4MP の $\beta$ -炭素に付加するマイケル付加反応が主要な反応経路として予想され、3-(グルタチオン-S-イル)-4-メチルペンタナールの生成物が得られることで、4MP の弱い遺伝毒性が不活化されたと考えられる。

DTT は、GST の補因子として利用され無いた め、GST 活性は無い条件下であるが、それでも DTT は 4MP の遺伝毒性を不活化させた。この ことから、4MPの弱い陽性反応は、GSTが関与 しなくても GSH 自体の抗酸化作用で抑制でき たと推論できる。しかし、様々なタンパク質が 混在する S9mix 中で、GSH は 4MP の  $\beta$  -炭素に 付加して抗酸化作用を効率的に発揮できるだ ろうか。Armstrong らによると、GSH の抗酸化 作用は生理的条件下での効率は限定的であり、 GST は GSH のチオール基を脱プロトン化し、 求核性の高いチオラートイオン (GS⁻) を生成す ることで、よりマイケル付加反応を非常に効率 良く進めることができると報告している (Armstrong RN. Chem Res Toxicol. 10:2-18 (1997).)。つまり、GSH 補充による GST の抱合 作用と GSH 自体の抗酸化作用のどちらが寄与 しているかは、おそらく両方が機能しており (Zheng R et al, Toxicol Appl Pharmacol. 279, 43-52 (2014))、その寄与率は GST による抱合作用 のほうが大きいと考えられる (Hubatsch et al, Biochem J. 330 (Pt 1), 175-179 (1998)).

6. フォローアップ試験としての GSH-TK6 試験の有用性

GST は電子吸引性をもつ薬物を補因子 GSH と反応させ GSH 抱合体を形成する。一般に抱

合反応は極性基を持つ薬物や酸化、加水分解に より生成した極性代謝物が受けるが、GSTは脂 溶性ニトロ化合物、ハロゲン化アルキルやアリ ール、 $\alpha$ ,  $\beta$ -不飽和カルボニル化合物、エポキシ ドのような非極性化合物も直接抱合できる(宮 本徹, J. Agric. Sci. Tokyo Univ. Agric. 57, 247-260 (2013))。GSH-TK6 試験は、まだ 4MP しか実績 がないが、今後、Ames 試験陽性物質を in vivo 試験なしで、in vitro 試験だけでフォローアップ できる潜在的な有効性を有していると考えら れる。本系の最も優れた点は、単にヒト TK6 細 胞を用いる突然変異試験で陰性になっただけ でなく、その作用機序として、GSHが関与して 4MP が陰性となったこと (4MP は GST の基質 となった)が明確であることである。予備実験 の結果、他の物質をGSH-TK6試験で調べると、 遺伝毒性を抑制できない事例があり、基質特異 性が低いと言われる GST でも、基質にならずに 遺伝毒性を示す化学物質が存在することが分 かっている。つまり、GSH-TK6 試験によってス クリーニングする重要性があると考えられる。 4MP の Ames 試験結果は、代謝活性化条件下

で比活性値 728、非代謝活性化条件下で比活性値 1340 revertants/mg(強い陽性)であり非常に明確な陽性を示めす(Honma et al., Genes and Environ. 42:32 (2020))。一方、4MP のトランスジェニックマウス(MutaMouse)を用いる肝臓および腺胃における遺伝子突然変異誘発性が調べられ、両臓器ともに陰性であることが報告された(国立医薬品食品衛生研究所;令和4年度指定添加物の安全性の見直しに関する調査研究(令和5年3月))。この in vivo 試験の陰性結果は、Ames 試験の明確な陽性を完全に否定するものであり、本研究で実施された GSH-TK6試験の陰性結果と一致した(Table 1)。

4MP は、Ames 試験において塩基対置換型の TA100株を使用したときに陽性になっているこ とから、DNA 付加体の形成が疑われるが、

PubMed 等で 4MP の DNA 付加体に関する情報 は無かった。4MP と構造が類似している 2-ペン テナールの DNA 付加体形成については、論文 報告があり、グアニンの 1,N2-環状付加体およ び 7.8-環状付加体の存在が報告されている (Eder E et al. Chem Res Toxicol 6: 486-494 (1993)) 2-ペンテナールの Ames 試験や V79 細胞を用い た遺伝子変異試験では陽性だが、in vivo 骨髄小 核試験では陰性の報告がある(食品安全委員会 添加物専門調査会、添加物評価書 trans-2-ペンテ ナール(2011年10月))。その2-ペンテナールの 代謝は、カルボン酸、β酸化を受けて、最終的 に二酸化炭素に分解、あるいは GSH 抱合を受 け、メルカプツール酸となって排泄されると考 えられている。雄 Wistar ラットに 2-ペンテナー ルを単回強制経口投与したとき、投与後 24 時 間尿中に排泄された主な代謝物は、3-S-(N-アセ チルシステイニル)-ペンタン-1-オールであった とされている(食品安全委員会添加物専門調査 会、添加物評価書 trans-2-ペンテナール(2011 年 10月))。以上のことから、4MPは 2-ペンテナー ルと酷似した化学構造を有しているため同様 の代謝をうけるものと思われるが、おそらく本 研究のように、GSH欠乏が起きない程度の微量 の 4MP 用量であれば GSH-TK6 試験で検出し、 陰性と判定できるのかもしれない。GSH 欠乏を 誘発するような投与量では、本 GSH-TK6 試験 の有用性は限定的であると言える。よって、 GST-TK6 試験は、GSH 欠乏が起きない低濃度 曝露条件下で使用される化学物質(香料化学物 質等)のフォローアップ試験に有効と考えられ る。

### D. 結 論

本研究は、TK6 試験で使用される被験物質 処理液中、および TK6 細胞内の GST 活性を測 定し、GSH を補充しない TK6 試験の実験条件 では、GST 活性が無いことが明らかにした。 また、GSH-TK6 試験のコントロール物質として、シクロホスファミドが利用可能であることを明らかにした。並びに、GSHと同じチオール基を有する DTT を添加した TK6 試験を実施し、GSH が関与する 4MP の解毒機序とともに遺伝毒性が陰性となることを考察した。以上、in vitro 系で GSH 解毒機序を理解することは、遺伝毒性評価の精緻化やフォローアップに有用であることが示唆された。

#### E. 研究発表

#### 1. 論文発表

 Yamada H, Odagiri M, Yamakita K, Chiba A, Ukai A, Yasui M, Honma M, Sugiyama KI, Ura K, Sassa A. Dual-directional epi-genotoxicity assay for assessing chemically induced epigenetic effects utilizing the housekeeping TK gene. Sci Rep. 2025 Mar 5;15(1):7780. doi: 10.1038/s41598-025-92121-6.

# 2. 学会発表

- 1) 安井学、鵜飼明子、本間正充、杉山圭一 TK6 細胞を用いたグルタチオン補充型 *in* vitro 遺伝子突然変異試験によるフォローア ップの試み. 日本環境変異原ゲノム学会 第53 回大会、岡山市(2024.12.7)
- 2) 山田治人,山北啓吾,小田切瑞基,安井学, 本間正充,杉山圭一,浦聖恵,佐々彰 化 学物質に起因するエピジェネティック作用 の双方向評価レポーター試験法の確立 第 47 回 日本分子生物学会年会、福岡市 (2024.11.29)

# F. 知的所有権の取得状況

なし

Table 1.4-メチル-2-ペンテナールに対するGSH/GST-TK6試験結果とその他の遺伝毒性試験結果の比較

	Ames/QSAR*1	3SAR*1	Ames試験	1   1   1   1   1   1   1   1   1   1	MutaMouseを用いるTG試験*2	,TG試験*2	TK6試験*3	*33	GSH/GST-TK6試験
	Derek Nexus Case Ultra	Case Ultra	6S +	6S-	500、250、125 mg/kg 体重/日(28日 間連続強制経口投与) 肝臓	<b>5重/日(28日</b> 腺胃	6S+	6S-	+S9 +GSH (1 mM)
4-メチル-2-ペンテナール	Plausible	3	陽性	強い陽性	Try 40	Try 42	77 84	197 <b>4</b> 2	मृत्य अध
(Cas; 5362-56-1)	(Positive)	Positive	(728 rev./mg)	(1,340 rev./mg)	田田田田田田田田田田田田田田田田田田田田田田田田田田田田田田田田田田田田田田田	五, 岩	物い物(生	班	五, 岩

\*1 Honma et al., Genes and Environ. 42:32 (2020), および本間研究代表者の平成30年度厚労科研費報告書から引用 \*2 国立医薬品食品衛生研究所; 令和4年度指定添加物の安全性の見直しに関する調査研究(令和5年3月) \*3 杉山研究代表者の令和3年度および令和4年度厚労科研費報告書から引用

Fig.1. TK6試験に供された香料物質の化学構造

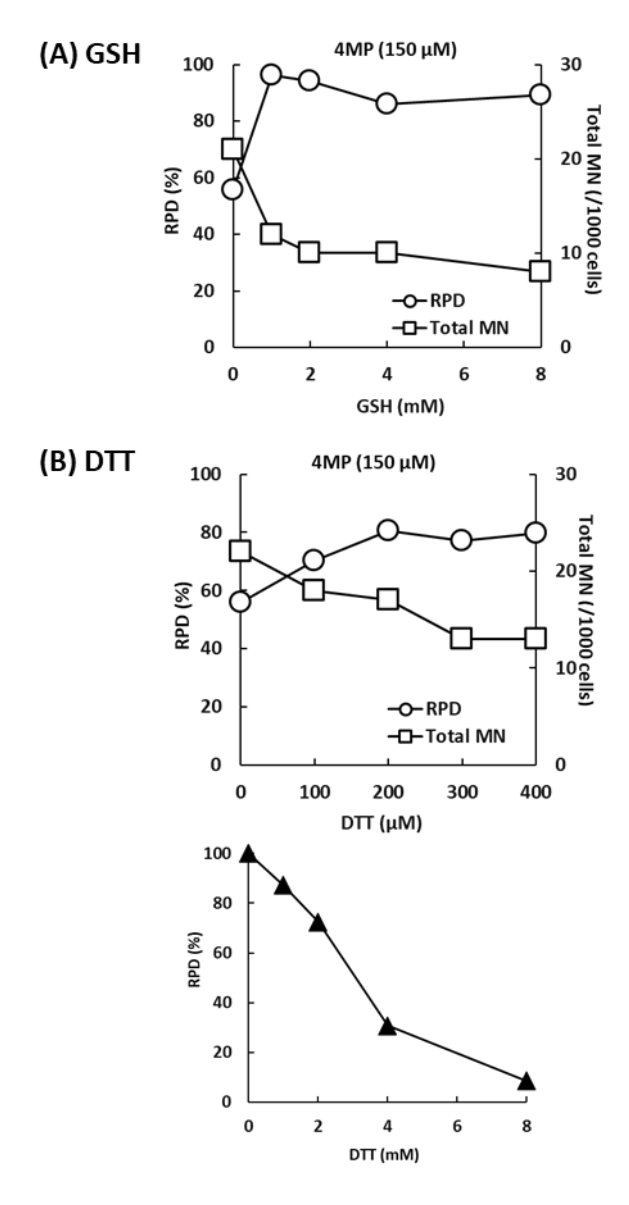


Fig. 2.4MP(150 µM)に対するGSH補充、あるいはDTT添加による小核形成能の抑制効果、およびDTT自体の細胞毒性

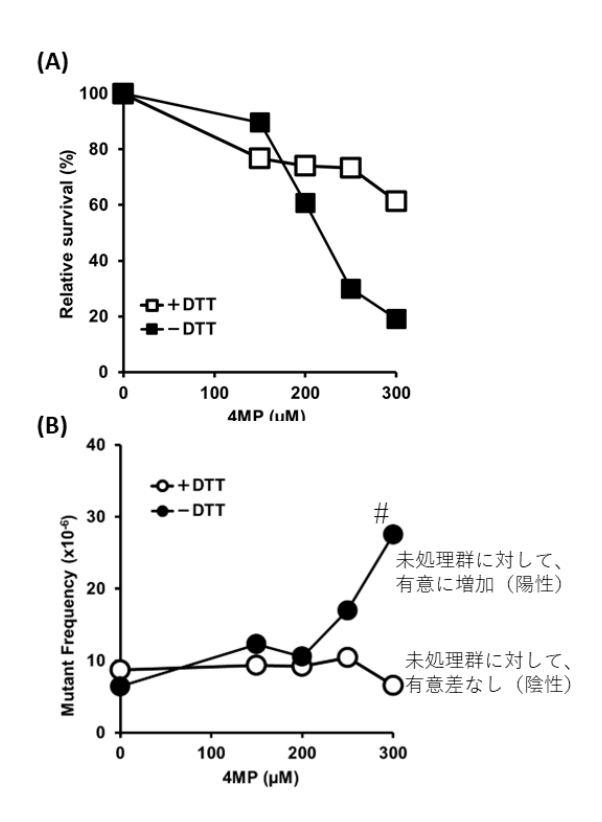


Fig. 3. S9存在下条件による4MPのTK6試験結果(400µM DTT添加) #: 通常は96穴プレート2枚を使用してMF値の算出をするが、300 µM処理群は強い細 胞毒性を示したためプレート1枚からMF値を算出した

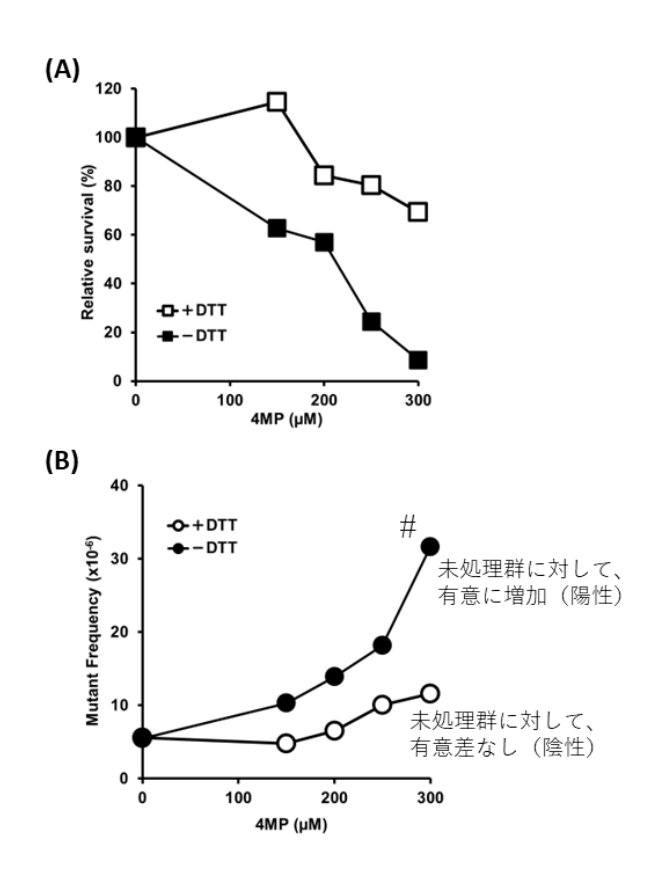


Fig. 4. 確認試験 S9存在下条件による4MPのTK6試験結果(400μM DTT添加) #; 通常は96穴プレート2枚を使用してMF値の算出をするが、300 μM処理群は強い細胞毒性を示 したためプレート1 枚からMF値を算出した

Fig. 5. 予想される4MPの解毒機序

令和6年度 食品衛生基準科学研究費補助金(食品安全科学研究事業) 香料を含む食品添加物の遺伝毒性評価スキームの構築に関する基盤研究

分担研究課題名: 香料を含む食品添加物の遺伝毒性評価スキームの構築に関する基盤研究

研究分担者 佐々 彰 千葉大学大学院理学研究院 生物学研究部門

#### 研究要旨

化学物質のばく露から発がんに至る機序には、DNA メチル化やヒストン修飾に影響を及ぼすエピジェネティックな作用(エピ遺伝毒性)を含む、多階層的な分子変化が関与する。そこで本研究では、哺乳類細胞を用いて開発したエピ遺伝毒性試験法(エピ TK 試験)の有用性を検証し、同定されたエピ遺伝毒性物質の作用機序を解析するためのスキームの確立を目的とした。

令和6年度の本分担研究では、被験物質として新たにisoeugenol、methyleugenol、trichloroethyleneの3化合物を選定し、エピTK試験により評価を行った。また、エピTK試験の評価でこれまでにエピ遺伝毒性が陽性となった12-O-Tetradecanoylphorbol-13-acetate(TPA)について、クロマチン免疫沈降法およびウエスタンブロッティングによって、TPA処理細胞におけるヒストンアセチル化修飾への影響を解析した。詳細については以下の通りである。

被験物質として用いた上記 3 化合物は、エピジェネティックな作用が疑われる、あるいはエピ遺伝毒性に関する知見が不十分な化合物である。それぞれについて、S9 mix による代謝活性化の有無の条件でエピ TK 試験を実施し、エピジェネティックな作用を評価した。その結果、3 化合物いずれにおいても、S9 mix の添加の有無にかかわらず TK 復帰頻度に有意な変化は認められなかった。なお、S9 mix を添加した各群では、S9 mix 非添加群と比較して TK 復帰頻度が低下する傾向がみられた。このことは、S9 mix による代謝が細胞内のエピジェネティックな動態に僅かながら影響を与えた可能性を示唆している。これらの知見は、今後のエピ遺伝毒性評価における基礎データとして有用と考えられる。

エピ遺伝毒性陽性物質の TPA については、mTK6 細胞に 24 時間処理後、3 日間の回復培養を経た後に H3K27Ac 抗体を用いたクロマチン免疫沈降法を実施した。その結果、TPA 処理群では、TK遺伝子座における H3K27Ac レベルが溶媒対照群と比較して有意に低下していた。この結果から、TPA のエピ遺伝毒性は、ヒストン修飾に影響を与える機序を介していることが示唆された。

#### I. 研究目的

香料等の食品添加物について、遺伝毒性に加えエピジェネティックな作用が発がんに寄与する可能性が示唆されており、今後の安全性評価において新たな観点からの解析が求められている。特に、DNAメチル化

やヒストン修飾など、ゲノム構造や遺伝子 発現に影響を及ぼす変化が、発がんの初期 過程に関与することが明らかとなりつつあ る。そこで本研究では、香料等の食品添加物 が有するエピジェネティックな変化を、哺 乳類細胞を用いた新規*in vitro*試験法(エピ TK試験)により評価する。また、エピジェネティックな陽性応答を示した化合物については、クロマチン免疫沈降法などを用いた機序解明も併せて行い、試験法の実用性と信頼性を高めるとともに、エピジェネティックな作用に基づく発がん予測スキームの確立を目指す。

#### J. 研究方法

<u>B-1. ヒト細胞株を用いたエピ遺伝毒性試</u> 験の実施

#### B-1-1. 細胞培養

解析に用いるヒトリンパ芽球細胞株mTK6 は、TK6株にCRISPR/dCas9-DNMT3A D NAメチル化システムを一過的に導入して、チミジンキナーゼ (*TK*) 遺伝子をエピジェネティックに不活化制御した細胞株である。mTK6は、10% FETAL BOVINE SERU M (CCB), 200 μg/mLピルビン酸ナトリウム (ナカライテスク)、100 U/mLペニシリン、100 μg/mLストレプトマイシン(ナカライテスク)、3 μg/ml トリフルオロチミジン (TFT) (SIGMA) を添加したRPMI-1640培地 (ナカライテスク)を用いて、5% CO2、37℃の条件で培養した。

#### B-1-2. エピ遺伝毒性試験

被験物質としてisoeugenol、methyleuge nolは東京化成工業(株)、trichloroethyle ne, 12-O-Tetradecanoylphorbol-13-acetat e (TPA) は富士フイルム和光純薬(株) よ りそれぞれ購入したものを用いた。代謝活 性化のためのS9 mixは家田貿易(株)から 購入した。細胞培養液を1,500 rpm 5分間 遠心分離してTFTを含む上清を取り除き、 TFTを含まない培地を加えて5×105 cell/ mLの細胞懸濁液を調製した。被験物質は細 胞懸濁液に対して100分の1量加え、S9 mi x添加または非添加の条件で37℃、24時間 培養して処理を行った。その後細胞を洗浄 し、以下の条件でプレーティングを行った。 平板効率測定のために8 cells/mLで96穴プ レートに200 μl/wellで播種した。並行して

TK復帰頻度測定のために $2\times10^2\sim1\times10$  5 cell/mLの範囲で細胞を希釈して、 $200~\mu$  M hypoxanthine,  $0.1~\mu$ M aminopterin, and  $17.5~\mu$ M thymidine (HAT) 存在下で96穴プレートに $200~\mu$ l/wellで播種した。21日後に、それぞれのプレートにおける生存コロニーをカウントした。TK遺伝子座および細胞内でのヒストン修飾H3K27Ac $\nu$ ベルの定量は、H3K27Ac $\tau$ 大佐(Active Motif)を用いたクロマチン免疫沈降法およびウエスタンブロッティングによって同定した。

#### (倫理面への配慮)

エピTK試験は培養細胞株を用いるため,個人情報保護および生命倫理に関する規定には抵触しない。

### K. 研究結果

エピ TK 試験の結果について、S9 mix 非 添加条件(S9-、図1左)では、各化合物処 理後の TK 復帰頻度は 50 µM isoeugenol:  $0.92\times10^{-3}$ ,  $100\,\mu\text{M}$  methyleugenol:  $1.3\times10^{-3}$ 3、400 µM trichloroethylene: 1.0×10<sup>-3</sup> とな り、溶媒対照 DMSO: 1.3×10-3 と比較して 差はみられなかった。また、S9 mix 添加条 件(S9+、図1右)では、各化合物処理後 の TK 復帰頻度は 50 μM isoeugenol:  $0.69\times10^{-3}$  ,  $100~\mu\text{M}$  methyleugenol: 0.56×10<sup>-3</sup> , 400 µM trichloroethylene: 0.34×10<sup>-3</sup> となり、溶媒対照 DMSO: 0.58×10<sup>-3</sup> と比較して顕著な差はみられな かった。一方で、S9 mix 非添加条件で実験 を実施した場合と比べて、S9 mix 添加条件 ではいずれも TK 復帰頻度が低下する傾向 がみられた。

TPA は、エピ TK 試験において 24 時間 曝露後に TK 復帰頻度の大幅な低下を示す 化合物である。具体的なエピ遺伝毒性の機序についてヒストンアセチル化への作用を 想定し、クロマチン免疫沈降およびウエスタンブロッティングによって TPA 処理後の 細胞における H3K27Ac レベルを定量した。

H3K27Ac 抗体を用いたクロマチン免疫沈降の結果、TPA 処理後の細胞では溶媒対照 (EtOH) と比べて、TK 遺伝子座における H3K27Ac レベルの有意な低下が観察された (図 2A)。同様に別のハウスキーピング遺伝子である GAPDH遺伝子座においても H3K27Ac レベルの低下がみとめられた。さらに細胞抽出液を用いたウエスタンブロッティングによる H3K27Ac レベルの定量においても、TPA 処理細胞では溶媒対照 (EtOH)と比べて H3K27Ac レベルの有意な低下が観察された (図 2B)。

# L. 考察

本研究では、3つの化合物isoeugenol、methyleugenol、trichloroethyleneについて、エピTK試験を用いて評価を行った。その結果、いずれの化合物も、S9 mixの有無にかかわらずTK復帰頻度に有意な変化は観察されず、エピジェネティックな作用は認められなかった。一方で、S9 mixの添加によりTK復帰頻度が一貫して低下する傾向が見られたことから、代謝活性化に伴う軽微なエピジェネティック変化の可能性があり、今後の検討課題と考えられる。

TPA処理群では、クロマチン免疫沈降およびウエスタンブロッティングの両手法において、ヒストン修飾(H3K27Ac)の有意な低下が確認された。この結果は、TPAが細胞内においてグローバルなヒストンアセチル化の抑制を介してエピジェネティックな変化を誘導し、TK遺伝子座においても発現調節に影響を与えたことを示唆している。

## M. 結論

isoeugenol、methyleugenol、trichloro ethyleneは、いずれもエピTK試験において明確なエピジェネティック変化を示さなかった。一方で、代謝活性化が細胞内のエピジェネティックな環境変化を引き起こす可能性は今後の検討課題といえる。TPAのエピジェネティック作用については、H3K27Acの低下を通じた作用機序が明確となり、エ

ピTK試験がエピジェネティックな遺伝毒性の検出に有用であることが実証された。 今後は本試験法を基盤とし、さらに幅広い 化学物質に対する評価および異なるエンド ポイントを通した機序解析の適用が期待される。

# N. 健康危険情報

該当なし

#### O. 研究発表

#### G-1. 論文発表

- Yamada H, Odagiri M, Yamakita K, Chiba A, Ukai A, Yasui M, Honma M, Sugiyama KI, Ura K, Sassa A. Dualdirectional epi-genotoxicity assay for assessing chemically induced epigenetic effects utilizing the housekeeping TK gene, Sci. Rep., 15, 7780, 2025
- 2) Nakano T, Akamatsu K, Kohzaki M, Tsuda M, Hirayama R, Sassa A, Yasui M, Shoulkamy MI, Hiromoto T, Tamada T, Ide H, Shikazono N. Deciphering repair pathways of clustered DNA damage in human TK6 cells: insights from atomic force microscopy direct visualization. Nucleic Acids Res., 53, gkae1077, 2025
- 3) Iwasaki K, Tojo A, Kobayashi H, Shimizu K, Kamimura Y, Horikoshi Y, Fukuto A, Sun J, Yasui M, Honma M, Okabe A, Fujiki R, Nakajima NI, Kaneda A, Tashiro S, Sassa A, Ura K. Dose-dependent effects of histone methyltransferase NSD2 on site-specific double-strand break repair. Genes Cells, 29, 951-965, 2024

#### G-2. 学会発表

1) Uncovering distinct DNA damage responses associated with RNase H2

- and its deficiency pathogenic TK6 cells. mutation in human Nakatani K., Terakoshi N., Yamakita Tachikawa A., Tanaka Watanabe A., Takafuji K., Mayuzumi Y... Yoshimoto Y., Fukuda Т., Sugasawa K., Ura K., Sassa A. Gutenberg Workshop RNase H 2024. 2024年9月, Rhein, Germany
- In vitro RNA Synthesis Past Oxidative Base Damage by SARS-CoV-2 RNA-Dependent RNA Polymerase. Akagawa M., Grúz P., Sugasawa K., Ura K., Sassa A. 55th The Annual Meeting of Environmental Mutagenesis and Genomics Society. 9/2024 年 9 月, CA, USA
- 3) RNA のイノシン修飾がゲノム恒常性 維持に果たす役割の解明,吉田 昭音, 北村 蒼史, Yu·Hsien HWANG-FU, Zachary JOHNSON,浦 聖恵,佐々 彰,日本環境変異原ゲノム学会第53回 大会,2024年12月,岡山
- 4) O6-メチルグアニン DNA メチルトランスフェラーゼが炎症応答制御に果たす役割の解明,古西 乃々香,北村 蒼史,鵜飼 明子,安井 学,本間 正充,杉山 圭一,浦 聖恵,佐々 彰,日本環境変異原ゲノム学会第53回大会,2024年12月,岡山
- 5) DNA 損傷応答と RNA 修飾の新規クロストークの同定, Sujin SONG, 吉田昭音, 北村 蒼史, 立川 明日香, Yu-Hsien HWANG-FU, Zachary JOHNSON, 浦 聖恵, 佐々 彰, 日本環境変異原ゲノム学会第 53 回大会, 2024年12月, 岡山
- 6) ATAC-seq によるクロマチン構造変化 を指標とした高次ゲノム不安定性評価, 山北 啓吾、安井 学、本間 正充、杉山 圭一、藤木 亮次、金田 篤志、浦 聖恵、 佐々 彰、日本環境変異原ゲノム学会第

- 53 回大会, 2024年12月, 岡山
- 7) 酸化的 RNA 損傷を鋳型とした SARS-CoV-2 由来 RNA 依存性 RNA ポリメラーゼの RNA 合成機構の解明, 赤川 真崇, Grúz Petr, 菅澤 薫, 浦 聖恵, 佐々 彰, 第 47 回日本分子生物学会年会, 2024 年 11 月, 福岡
- 8) 化学物質に起因するエピジェネティック作用の双方向評価レポーター試験法の確立,山田治人,山北啓吾,小田切瑞基,安井学,本間正充,杉山圭一,浦聖恵,佐々彰,第47回日本分子生物学会年会,2024年11月,福岡
- 9) 造血幹細胞から B 細胞への分化・増殖 に果たすヒストンメチル化酵素 NSD2 の機能, 八木 栄飛, 磯野 太一, 岩崎 滉, 河合 智子, 秦 健一郎, 佐々 彰, 浦 聖恵, 第 47 回日本分子生物学会年 会, 2024 年 11 月, 福岡
- 10) クロマチン構造に応じたヒストンメチル化酵素 NSD2 の活性ダイナミクス, 磯部 博登,小池 望実,佐々 彰,菊地 正樹,梅原 崇史,堀越 直樹,胡桃坂 仁志,浦 聖恵,第 47 回日本分子生物 学会年会,2024年11月,福岡
- 11) DNA 鎖切断に起因するインターフェロン応答における核酸センサーcGAS, IFI16 の役割, 寺越 菜央, 山北 啓吾, 安井 学, 本間 正充, 杉山 圭一, 菅澤薫, 浦 聖恵, 佐々 彰, 第 31 回日本免疫毒性学会学術年会, 2024 年 9 月, 兵庫
- 12) DNA 修復の機能不全による DNA 鎖切断を伴わない自然免疫応答メカニズムの解明,田中陽菜,山北啓吾,安井学,本間正充,杉山圭一,藤木亮次,金田篤志,菅澤薫,浦聖恵,佐々彰,第31回日本免疫毒性学会学術年会,2024年9月,兵庫

#### P. 知的財産権の出願・登録状況

H-1. 特許取得

該当なし

H-2. 実用新案登録 該当なし <u>H-3.その他</u> 該当なし

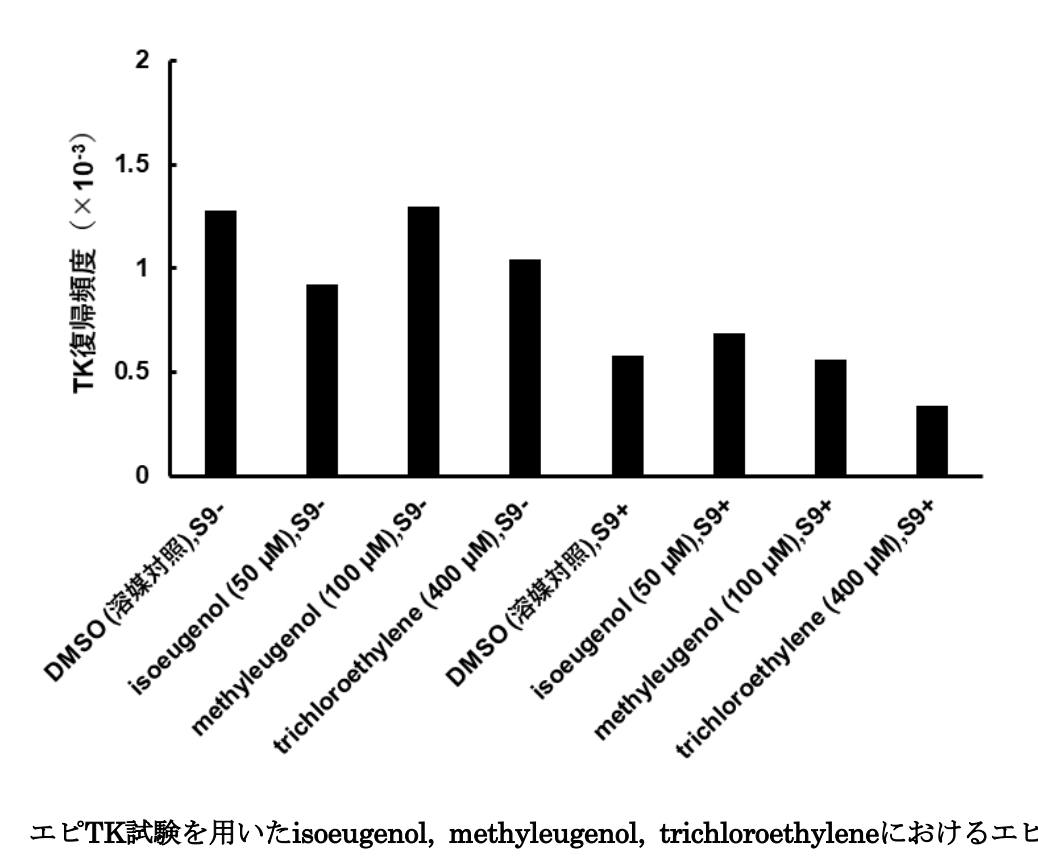


図1 エピTK試験を用いたisoeugenol, methyleugenol, trichloroethyleneにおけるエピジ ェネティック作用の評価

S9 mixの非添加(S9-) および添加(S9+) 条件下で、DMSOを溶媒対照として、mTK6 株に50 μM isoeugenol、100 μM methyleugenol、または400 μM trichloroethyleneを24 時間処理した。

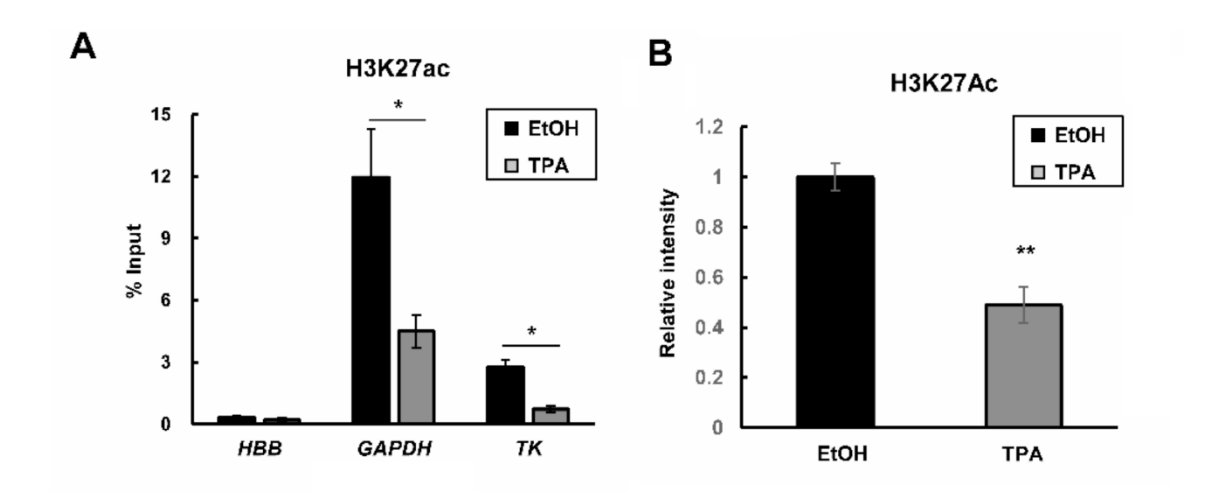


図2 12-O-tetradecanoylphorbol-13-acetate曝露が細胞内のヒストンH3K27Ac修飾に与える影響

(A) TPA処理に応答したH3K27Acレベルの変化: H3K27Acレベルは、クロマチン免疫沈降法/qPCR解析により測定した。比較のため、HBBおよびGAPDH遺伝子を解析対象に含めた。データは3回の独立した試行の平均値 ±標準誤差として示している。\*は、評価されたサンプル間で統計的に有意な差が認められたことを示す(P < 0.05、Student t検定)。(B) 細胞内H3K27Acレベルの測定:ウエスタンブロッティング解析によってTPA処理後の細胞内H3K27Acシグナルレベルを定量した。データは3回の独立した試行の平均値 ±標準誤差として示している。\*は、評価されたサンプル間で統計的に有意な差が認められたことを示す(P < 0.01、Student t検定)。

令和6年度 食品衛生基準科学研究費補助金(食品安全科学研究事業) 香料を含む食品添加物の遺伝毒性評価スキームの構築に関する基盤研究

**分担研究課題名**: 包括的毒性試験による in silico評価系の精緻化

研究分担者 石井 雄二 所属 国立医薬品食品衛生研究所 病理部

### 研究要旨

本研究では、香料の遺伝毒性評価スキームにおける in siloco 及び in vitro 試験の精緻 化 を 目 的 と し , Ames/QSAR 及 び Ames 試 験 で 陽 性 と な っ た 香 料 4-methoxycinnamaldehyde (MCA) について、gpt delta ラットを用いた一般毒性・遺伝毒性・発がん性包括的毒性試験を実施した. 雌雄 F344 ラットを用いた用量設定試験では、MCA を 0、50、150 及び 500 mg/kg/日の用量で 28 日間強制経口投与した. その結果、雄では 150 mg/kg 群から腎近位尿細管の硝子滴変性の増加が、500 mg/kg 群で体重増加抑制、肝重量増加及び血清 Cl の有意な高値が見られた. 雌では 500 mg/kg 群で肝臓、副腎及び腎臓重量の増加が見られたが、毒性を示唆する血清パラメーターの変動及び病理組織学的変化は見られなかった. 以上から、包括的毒性試験は雄性 gpt delta ラットを用い、高用量は 500 mg/kg 体重/日、中間用量、低用量は公比約 3 で除した 150及び 50 mg/kg/日とした. また、遺伝毒性評価の対象臓器は肝臓及び腎臓に設定した. 本試験では雄性 gpt delta ラットに MCA を 0、50、150 及び 500 mg/kg/目の用量で 13週間強制経口投与した. その結果、500 mg/kg 群で有意な体重増加抑制と臓器重量の変化が認められた. 今後、全身諸臓器の病理組織学的検索を実施し、これらの毒性学的意義について考察する.

#### Q. 研究目的

合成香料には個別指定品目に加えて、化学構造から使用が認められているいわゆる「18類香料」と呼ばれる3000を超える品目が例示されている.しかし、その「18類香料」の中の一つ3-acetyl-2,5-dimethylthiopheneは、 *in vivo*においても遺伝毒性を示すことが明らかとなり、2013年に欧米および我が国においても使用禁止処置がとられた.また、エストラゴール等のフェノールエーテル類の天然香気成分にはラット肝発がん性を示し、遺伝毒性を有するものが明らかになっている1、2、このように、指定対象の香料についてもその安全性が十分に担保されているとは言えない.

令和3年度厚生労働科学研究「香料を含む食品添加物の遺伝毒性から発がんに至る

毒性評価スキーム確立に向けた基盤的研究 (21KA1001)」では、in silico、in vitro 及び in vivo 試験からなる香料の毒性評価 スキームにおける in vivo 試験の一つとし て,我々はgpt delta ラットを用いた遺伝 毒性・発がん性中期包括試験を提案し,そ の有用性を確認した. 本法を用いて Ames/ QSAR 及び Ames 試験で陽性となった香料 を評価した結果, 3-acetyl-2,5-dimethylfur an は、ラット肝臓において変異原性を示 し、肝発がん性を有する可能性が示された 3). 一方, 6-methoxyquinoline はラット 肝臓における変異原性及び発がん性は陰性 となり, in silico 及び in vitro 試験とは相 反する結果を示した. Ames 試験では S9 による代謝酵素の制限による偽陰性や、バ クテリア特異的代謝による偽陽性が生じる

ことが知られており、Ames/QSARモデルはこれらの特徴を引き継いでいる。それ故、in silico及び in vitro試験による香料を含む食品添加物の遺伝毒性評価を実現するには、これらの評価結果の精緻化が必要である。そこで本研究では、これまでにAmes/QSAR及びAmes試験で陽性となった香料について、gpt deltaラットを用いた一般毒性・遺伝毒性・発がん性包括試験による評価を実施し、遺伝毒性結果の真偽を明らかにし、結果に相違があった場合にはその原因と同様の骨格を有する香料の遺伝毒性を考察し、in silico評価へフィードバックする。

評価対象とした 4-methoxycinnamaldeh yde (MCA; Fig. 1) は, 我が国では17 類(芳香族アルデヒド類)に分類される食 品香料で、2020年の国内使用量は0.76 k gと報告されている4. 米国において FEM A GRAS (Flavor and Extract Manufact urers Association Generally Recognized as Safe) に指定されており (FEMA No. 3567), 飲料, 菓子等に使用されている. FAO/WHO 合同食品添加物専門家会議(J ECFA) では、香料の脂肪族及び芳香族ア ミン又はアミドに分類され(JECFA No. 687), Class II (香料として現在の摂取量 で使用される限り, 安全性に懸念はない) とされている. 一方, 本間らが実施した A mes QSAR (Derek Nexus 及び CASE U ltra) では陽性を示し、その後実施された Ames 試験 (TA100 株, +S9) において 陽性と判定されている4). 本年度は MCA について F344 ラットを用いた用量設定試 験を実施し、本試験における投与量を設定 した. さらに、本試験として雄性6週齢の F344 系 *gpt* delta ラットに MCA を 13 週 間強制経口投与し,一般毒性評価を開始し た.

#### R. 研究方法

# B-1. 材料及び試薬

MCA (CAS No. 24680-50-0, >97.0%)

は東京化成工業株式会社(東京)から購入した。

### B-2. 用量設定試験

動物は6週齢の雌雄F344ラット各20匹を 日本エスエルシー株式会社より購入し、CR F-1粉末基礎飼料(オリエンタル酵母工業株 式会社) と調製水で飼育した. 動物の飼育は バリヤーシステムの動物室にて行った. 室 内の環境は温度24±1°C, 湿度55±5%, 換 気回数18回/時(オールフレッシュ),12 時間蛍光灯照明/12時間消灯であり、この 条件下で飼育を行った.動物は透明なポリ カーボネート製箱型ケージに2または3匹ず つ収納し, 床敷は三共ラボサービス社(東 京)のソフトチップを用い、週2回交換を行 った. また, 飼料及び調製水は試験期間中, 自由に摂取させた. ラット20匹を各群5匹に 配し,対照群と低,中間及び高用量群の計4 群を設けた. 高用量群では, 500 mg/kg体 重,中間用量および低用量群では公比約3で 除した150および50 mg/kg体重の用量でコ ーン油に溶解したMCAを28日間強制経口 投与した. 対照群にはコーン油を投与した. 試験期間中,飲水及び飼料の交換は週1回, 一般状態観察を連日実施し, 体重および摂 餌量測定は週1回実施した. 投与開始から2 9日目にイソフルラン麻酔下にて腹部大動 脈より採血し,血液学検査および血清生化 学的検査に供した. また, 脳, 胸腺, 心臓, 脾臓, 肝臓, 副腎及び腎臓を採取し, 重量測 定後,10%中性緩衝ホルマリン液にて固定 し,常法に従いパラフィン切片を作製後,へ マトキシリンエオジン染色を施した.

血液学的検査は、自動血球計数装置(Sysmex M-2000、東亜医用電子社、東京)を用いて、白血球数(WBC)、赤血球数(RBC)、ヘモグロビン(HGB)、ヘマトクリット値(HCT)、平均赤血球容積(MCV)、平均赤血球血色素量(MCH)、平均赤血球血色素濃度(MCHC)及び血小板数(PLT)について測定した。

血清生化学検査は、遠心分離した血清を

凍結保存し、総タンパク (TP) 、アルブミン・グロブリン比(A/G)、アルブミン (ALB) 、総ビリルビン (T. BIL) 、トリグリセリド (TG) 、総コレステロール (T. CHO) 、尿素窒素 (BUN) 、クレアチン (CRE) 、ナトリウム (Na) 、塩素 (Cl) 、カリウム (K) 、カルシウム (Ca) 、無機リン (IP) 、アスパラギン酸トランスアミナーゼ (ALT) 、アルカリフォスタファーゼ (ALP) 、γ-グルタミルトランスペプチターゼ (γ-GTP) について、オリエンタル酵母株式会社 (東京) にて測定した.

# B-3. MCAの一般毒性・遺伝毒性・発がん性 包括的試験(本試験)

5週齢の雄性F344系gpt deltaラット40 匹を日本エスエルシー株式会社(静岡)から 購入し,透明なポリカーボネート製箱型ケ ージに2または3匹ずつ収容した. 飼育条件 はB-2に同じ. ラットは各群10匹に配し, 対 照群と低用量,中間用量及び高用量群の計4 群を設けた. 用量設定試験の結果に基づい て, 高用量を500 mg/kg体重/日, 中間用量 および低用量群は公比約3で除した150およ び50 mg/kg体重/日とし、13週間強制経口 投与した. 対照群にはコーン油を投与した. 試験期間中,飲水及び飼料の交換は週1回, 一般状態観察を連日実施し, 体重及び摂餌 量測定は週1回実施した. 剖検の16時間前よ り絶食させ、イソフルラン麻酔下で腹部大 動脈から採血後、屠殺・剖検した.

血液学的検査及び血清生化学検査はB-2 に同じ.

各臓器は肉眼的に観察後摘出し,脳,肺,心臓,脾臓,肝臓,腎臓,副腎,胸腺及び精巣の重量を測定した.上記臓器に加え,鼻腔を含む頭蓋骨,下垂体,眼球,ハーダー腺,脊髄,唾液腺,胃,小腸,大腸,膵臓,膀胱,皮膚,乳腺,リンパ節,気管,食道,甲状腺,舌,大腿筋,坐骨神経を10%中性緩衝ホルマリン液にて固定し,常法に従いパラフィン切片を作製し,ヘマトキシリンエオジン染

色を施し、病理組織学的検索を行った. なお、肝臓の外側左葉の一部と左腎の一部は、in vivo変異原性試験(gpt assay及びSpi assay)に供するため液体窒素により急速凍結して・80°Cで保存した.

#### (倫理面への配慮)

投与実験は熟練者が実施し、動物の苦痛を 最小限に留めた.また、動物はすべてイソフ ルラン麻酔下で大動脈からの脱血により屠 殺し、動物に与える苦痛は最小限に留めた. 実験動物に関しては、「国立医薬品食品衛生 研究所動物実験の適正な実施に関する規定」 に基づき、動物実験計画書を作成し、国立医 薬品食品衛生研究所動物実験委員会による 審査を受けた後、実施した.また、遺伝子組 換え動物の使用については、「国立医薬品食 品衛生研究所遺伝子組換え実験安全管理規 則」に従い、遺伝子組み換え実験計画書を作 成し、審査を受けた.

#### S. 研究結果

#### C-1. 用量設定試験

試験期間中の一般状態観察において、投与による影響は認められなかった。体重と摂餌量の推移を Figure 2 に示す。500 mg/kg 群の雄で投与 2 週目以降、体重増加抑制が見られたが、摂餌量に変化は見られなかった。

最終体重および主要臓器の重量を Table 1 に示す.最終体重において,雄の 500 mg/kg 群では統計学的有意差はないものの,対照群に比べ約 10%の低値を示した.500 mg/kg 群の雄では肝実重量の高値及び相対重量の有意な高値がみられ,雌では肝臓,副腎及び腎臓の実重量及び相対重量の有意な高値が見られた.その他の臓器で見られた重量の変化は体重の変化によるものと考えられた.血液学的検査の結果を Table 2 に示す.500 mg/kg 群の雄では MCV の有意な低値,MCHC の有意な高値, 旋では,MCH 及び MCHC の有意な高値, Eosi の有意な低値が見られたが,いずれも軽微な

変化であった. 血清生化学検査の結果をTable 3 に示す. 500 mg/kg 群の雄では Clの有意な高値が見られた. その他, 投与群において TP, ALB, T-CHO, ALP, GLU, AST 及び ALT の有意な変化が見られたが,これらは軽微, 用量相関性を伴わない又は毒性を示唆する変化とは逆の変化であった. 主要臓器の病理組織学的検索の結果をTable 4 に示す. 150 mg/kg 以上の群の雄では,腎臓の近位尿細管に硝子滴変性の増加が認められ(Fig. 3), 硝子滴は抗α2u-グロブリン抗体に陽性を呈した(Fig. 4). その他の臓器において投与に起因する変化は認められなかった.

# <u>C-2. MCA の一般毒性・遺伝毒性・発がん性</u> 包括的試験(本試験)

試験期間中,500 mg/kg 群では誤投与によると考えられる死亡例が1例認められたが,その他の動物において一般状態の変化は見られず,途中死亡例は認められなかった. 試験期間中の体重の推移を Figure 5A に示す.500 mg/kg 群では投与3週目から対照群に比して体重の有意な低値が認められ、試験終了まで有意な体重増加抑制がみられた. 摂餌量は投与5週目から500 mg/kg 群で高値を示した (Figure 5B).

最終体重および臓器重量を Table 5 に示す. 最終体重は 500 mg/kg 群で有意な低値を示した. 実重量では 150 mg/kg 群から胸腺, 脾臓及び下垂体, 500 mg/kg 群では脳, 肺, 及び精巣の有意な低値が認められた. 相対重量では 150 mg/kg 群から胸腺の有意な低値と腎臓の有意な高値が, 500 mg 群では, 精嚢及び前立腺の有意な低値が, 脳, 心臓, 肝臓, 肺, 精巣, 副腎, 下垂体, 甲状腺及び唾液腺の有意な高値が認められた.

血液学的検査の結果を Table 6 に示す. 50 mg/kg 群から MCV の有意な低値が, 150 mg/kg 群から MCHC の有意な高値, Eosi の有意な低値が, 500 mg/kg では Ht 及び MCH の有意な低値がみられた.

血清生化学検査の結果を Table 7 に示す.

150 mg/kg 群から A/G の有意な高値と CRE の有意な低値が, 500 mg/kg 群では Cl の有意な高値と TP, K 及び Ca の有意な低値が認められた.

#### T. 考察

# D-1. 用量設定試験

MCAの一般毒性・遺伝毒性・発がん性包 括試験を実施するため、4週間の用量設定試 験を行った結果, 500 mg/kg群の雄では, 約10%の体重増加抑制が認められた. 雌雄 ともに肝重量の増加が認められたものの, いずれも肝毒性パラメーターの変化は認め られず、病理組織学的変化は見られなかっ た. 500 mg/kg群の雌では腎重量の増加が 認められたものの、病理組織学的変化は見 られなかった. 一方, 病理組織学的検索では 150 mg/kg以上の雄で近位尿細管に硝子滴 変性の増加が確認され,500 mg/kg群の雄 では電解質の変動が見られた. 免疫組織化 学染色の結果, 硝子滴はα2u-グロブリンで あったことから、これらは雄ラット特有の 変化であることが確認された. その他の臓 器において投与による変化は見られなかっ たことから,一般毒性・遺伝毒性・発がん性 包括試験は雄ラットのみで実施し, 高用量 は500 mg/kg体重/日に設定した. 中間用量 及び低用量は、公比約3で除した150及び50 mg/kg体重/日に設定した.また,遺伝毒性 評価の対象臓器は雄において重量又は病理 組織学的変化が見られた肝臓及び腎臓とし

# <u>D-2. MCAの一般毒性・遺伝毒性・発がん性</u> 包括的試験

本試験では、500 mg/kg群において誤投与による死亡が1例みられたものの、その他の動物の一般状態に変化はなく、死亡例は認められなかった. 臓器重量の変化は150 mg/kg群から認められたが、その多くは体重の低値に伴う変化と考えられた. 血清生化学検査では、電解質の変動が認められたが、これらの毒性学的意義については令和7年

度に実施する病理組織学的解析の結果とと もに考察する.

# U. 結論

一般毒性・遺伝毒性・発がん性包括試験の用量設定試験から、MCAに顕著な毒性は観察されなかった.500 mg/kg群の雄では体重増加抑制が見られたことから、13週間反復投与が可能な最大量は500 mg/kg体重/日と判断した.また、肝重量の増加及びα2u-グロブリン腎症が認められたことから、遺伝毒性評価の対象増加を肝臓及び腎臓に設定した.これらの結果をもとに、本試験における投与量を50、150及び500 mg/kg体重/日に設定し、一般毒性・遺伝毒性・発がん性包括試験の動物実験を実施した.

#### V. 健康危険情報

#### W. 研究発表

G-1. 論文発表 該当なし

# G-2. 学会発表

- 1) Investigations of the mechanism underlying acetamide-induced hepatocarcinogenesis in rat. Ishii Y., Nakamura K., Yamagami Y., Takasu S., Nohmi T., Toyoda T., Shibutani M., Ogawa K., SOT2025(2025年3月,米国)
- 2) gpt delta ラットを用いた 6methoxyquinoline の *in vivo* 変異原性 の評価,高須伸二,<u>石井雄二</u>,相馬明 玲,笠松建吾,山上洋平,豊田武士, 小川久美子,第 53 回日本環境変異原 ゲノム学会(2024年12月,岡山)

# X. 知的財産権の出願・登録状況

H-1. 特許取得

該当なし

# H-2. 実用新案登録 該当なし

# H-3.その他

該当なし

#### 参考文献

- 1) Suzuki Y, Umemura T, Hibi D, Inoue T, Jin M, Ishii Y, Sakai H, Nohmi T, Yanai T, Nishikawa A, Ogawa K. Possible involvement of genotoxic mechanisms in estragole-induced hepatocarcinogenesis in rats. Arch. Toxicol. 86, 1593-1601 (2012).
- 2) Suzuki Y, Umemura T, Ishii Y, Hibi D, Inoue T, Jin M, Ssakai H, Kodama Y, Nohmi T, Yanai T, Nishikawa A, Ogawa, K. Possible involvement of sulfotransferase 1A1 in estragole-induced DNA modification and carcinogenesis in the livers of female mice. Mutat. Res. 749, 23-28 (2012).
- Takasu S, Ishii Y, Namiki M, Nakamura K, Mitsumoto T, Takimoto N, Nohmi Т, Ogawa K, Comprehensive analysis the general toxicity, genotoxicity, and carcinogenicity of3-acethyl-2,5dimethylfuran in male gpt delta rats. Food Chem. Toxicol. 172, 113544 (2023).
- 4) Honma M, Yamada M, Yasui M, Horibata K, Sugiyama K, Masumura K, Genotoxicity assessment of foodflavoring chemicals used in Japan. Toxicol. Rep. 9, 1008-1012 (2022).

別添 4

Table 1 Body and organ weights data for F344 rats treated with MCA for 4 weeks

Item / Dose         0 mg/kg         50 mg/kg         150 mg/kg           No. of animals         5         5         5           Males           Body weight Brain         (g)         241.7±17.1°         232.5±21.5         234.3±17.1           Brain Bra	500 mg/kg 5 221.0±12.2 1.72±0.04**
Males         Body weight       (g)       241.7±17.1°       232.5±21.5       234.3±17.1         Brain       (g)       1.81±0.04       1.78±0.04       1.77±0.04	221.0 ± 12.2
Body weight (g) 241.7±17.1° 232.5±21.5 234.3±17.1 Brain (g) 1.81±0.04 1.78±0.04 1.77±0.04	
Brain (g) $1.81 \pm 0.04$ $1.78 \pm 0.04$ $1.77 \pm 0.04$	
	$0.78 \pm 0.04$
Thymus (g) $0.27\pm0.03$ $0.26\pm0.03$ $0.23\pm0.03$	$0.20 \pm 0.02**$
$(g/100gBW)$ $0.11\pm0.01$ $0.11\pm0.01$ $0.10\pm0.01$	$0.10 \pm 0.01$
Heart (g) $0.70\pm0.05$ $0.68\pm0.04$ $0.68\pm0.06$	$0.68 \pm 0.04$
(g/100gBW) 0.29±0.01 0.30±0.01 0.29±0.02	$0.31 \pm 0.02$
Spleen (g) 0.38±0.05 0.38±0.02 0.40±0.08	$0.32 \pm 0.03$
(g/100gBW) 0.16±0.01 0.16±0.01 0.17±0.03	$0.15 \pm 0.01$
Liver (g) $7.06\pm0.50$ $6.59\pm0.60$ $6.75\pm0.45$	$7.29 \pm 0.58$
(g/100gBW) 2.92±0.05 2.83±0.07 2.89±0.11	$3.40 \pm 0.23$ \$
Adrenals (g) $0.030\pm0.007$ $0.036\pm0.002$ $0.030\pm0.007$	$0.035 \pm 0.004$
(g/100gBW) 0.012±0.003 0.016±0.001 0.013±0.003	$0.017 \pm 0.001**$
Kidneys (g) 1.46±0.16 1.38±0.11 1.44±0.08	$1.44 \pm 0.12$
$(g/100gBW)$ $0.60\pm0.04$ $0.60\pm0.02$ $0.62\pm0.02$	$0.68 \pm 0.04**$
Testes (g) 2.53±0.18 2.48±0.14 2.09±0.84	$2.49 \pm 0.09$
$(g/100gBW)$ $1.05\pm0.05$ $1.07\pm0.07$ $0.88\pm0.34$	$1.15 \pm 0.06$
Females	
Body weight (g) 156.8±5.9 151.6±5.3 154.8±6.8	$161.9 \pm 6.6$
Brain (g) $1.67 \pm 0.03$ $1.67 \pm 0.04$ $1.66 \pm 0.04$	$1.64 \pm 0.05$
$(g/100gBW)$ $1.06\pm0.03$ $1.10\pm0.05$ $1.08\pm0.04$	$1.03 \pm 0.03$
Thymus (g) $0.22\pm0.02$ $0.22\pm0.02$ $0.23\pm0.02$	$0.21 \pm 0.02$
$(g/100gBW)$ $0.14\pm0.01$ $0.14\pm0.01$ $0.15\pm0.01$	$0.13 \pm 0.01$
Heart (g) $0.53 \pm 0.03$ $0.49 \pm 0.015^*$ $0.51 \pm 0.02$	$0.58 \pm 0.02*$
$(g/100gBW)$ $0.34\pm0.02$ $0.33\pm0.01$ $0.33\pm0.02$	$0.36 \pm 0.01$
Spleen (g) 0.28±0.01 0.27±0.02 0.29±0.01	$0.29 \pm 0.02$
$(g/100gBW)$ $0.18\pm0.01$ $0.18\pm0.01$ $0.19\pm0.01$	$0.18 \pm 0.01$
Liver (g) $4.15 \pm 0.25$ $4.20 \pm 0.15$ $4.42 \pm 0.25$	$5.58 \pm 0.41**$
(g/100gBW) 2.65±0.10 2.77±0.07 2.85±0.10	$3.48 \pm 0.24**$
Adrenals (g) $0.036 \pm 0.002$ $0.035 \pm 0.005$ $0.038 \pm 0.006$	
(g/100gBW) 0.023±0.001 0.023±0.003 0.024±0.004	
Kidneys (g) $0.99\pm0.08$ $0.99\pm0.06$ $1.03\pm0.05$	$1.13 \pm 0.03**$
$(g/100gBW)$ $0.63\pm0.03$ $0.65\pm0.03$ $0.67\pm0.02$	0.71 ± 0.03**
Ovaries (g) 0.048±0.004 0.048±0.013 0.056±0.00	
(g/100gBW) 0.030±0.002 0.032±0.008 0.036±0.001	$0.039 \pm 0.004$

a: Mean  $\pm$  SD , \*: Significantly different from control group at p<0.05, 0.01. (Dunnett's test.) s: Significantly different from control group at p<0.05. (Steel's test.)

別添 4

Table 2 Hematology data for male and female F344 rats administered MCA for 4 weeks

11. / 0			1.50 //	
Item / Group	0 mg/kg	50 mg/kg	150 mg/kg	500 mg/kg
No. of animals	5	5	5	5
Males				
WBC (x10 $^3$ / $\mu$ L)	$5.4 \pm 1.4$	$5.3 \pm 0.8$	$5.1 \pm 0.9$	$4.4 \pm 0.8$
RBC ( $10^4/\mu$ L)	$8.6 \pm 0.2^{a}$	$8.6 \pm 0.1$	$8.9 \pm 0.2$	$8.8 \pm 0.3$
HGB (g/dL)	$14.9 \pm 0.2$	$14.9 \pm 0.3$	$15.3 \pm 0.3$	$15.2 \pm 0.4$
HCT (%)	$44.4 \pm 1.0$	$44.5 \pm 0.8$	$45.7 \pm 0.8$	$44.5 \pm 1.4$
MCV (fL)	$51.8 \pm 0.4$	$51.7 \pm 0.2$	$51.6 \pm 0.4$	$50.6 \pm 0.5**$
MCH (pg)	$17.4 \pm 0.2$	$17.3 \pm 0.1$	$17.3 \pm 0.3$	$17.2 \pm 0.1$
MCHC (g/dL)	$33.6 \pm 0.4$	$33.4 \pm 0.1$	$33.6 \pm 0.4$	$34.0 \pm 0.2*$
PLT $(x10^3/\mu L)$	$586.6 \pm 81.5$	$608.8 \pm 81.8$	$621.6 \pm 60.3$	$581.2 \pm 54.6$
RET $(x 10^3/mL)$	$333.9 \pm 44.6$	$369.5 \pm 39.1$	$324.8 \pm 23.2$	$348.4 \pm 19.8$
Differential leukocyte	counts			
Neut (%)	$1.07 \pm 0.14$	$1.10 \pm 0.06$	$1.11 \pm 0.25$	$1.18 \pm 0.23$
Lymp (%)	$4.13 \pm 1.22$	$4.08 \pm 0.82$	$3.88 \pm 0.67$	$3.09 \pm 0.63$
Mono (%)	$0.12 \pm 0.03$	$0.10 \pm 0.01$	$0.09 \pm 0.02$	$0.09 \pm 0.01$
Eosi (%)	$0.03 \pm 0.01$	$0.04 \pm 0.01$	$0.04 \pm 0.02$	$0.07 \pm 0.13$
Baso (%)	$0.004 \pm 0.005$	$0.010 \pm 0.000$	$0.006 \pm 0.005$	$0.002 \pm 0.004$
Females				
WBC (x10 $^3$ / $\mu$ L)	$5.2 \pm 1.6$	$4.5 \pm 0.9$	$3.6 \pm 0.7$	$4.0 \pm 0.7$
RBC $(10^4/\mu L)$	$8.9 \pm 0.1$	$8.9 \pm 0.2$	$8.6 \pm 0.2$	$8.7 \pm 0.2$
HGB (g/dL)	$15.4 \pm 0.2$	$15.4 \pm 0.3$	$14.9 \pm 0.3$	$15.2 \pm 0.2$
HCT (%)	$45.8 \pm 0.6$	$45.7 \pm 1.0$	$44.2 \pm 0.9*$	$44.6 \pm 0.6$
MCV (fL)	$51.6 \pm 0.1$	$51.2 \pm 0.2$	$51.2 \pm 0.3$	$51.3 \pm 0.3$
MCH (pg)	$17.3 \pm 0.0$	$17.2 \pm 0.2$	$17.3 \pm 0.1$	$17.5 \pm 0.1*$
MCHC (g/dL)	$33.5 \pm 0.1$	$33.6 \pm 0.3$	$33.8 \pm 0.2$	$34.1 \pm 0.2**$
PLT $(x10^3/\mu L)$	$643.4 \pm 48.6$	$611.8 \pm 24.1$	$634.8 \pm 29.3$	$616.2 \pm 18.7$
RET (x 10 <sup>3</sup> /mL)	$307.8 \pm 34.7$	$254.9 \pm 29.0*$	$264.5 \pm 20.3$	$315.3 \pm 30.2$
Differential leukocyte	counts			
Neut (%)	$0.97 \pm 0.43$	$0.91 \pm 0.27$	$0.73 \pm 0.08$	$0.93 \pm 0.27$
Lymp (%)	$4.03 \pm 1.24$	$3.47 \pm 0.73$	$2.74 \pm 0.71$	$2.91 \pm 0.42$
Mono (%)	$0.13 \pm 0.06$	$0.10 \pm 0.03$	$0.08 \pm 0.01$	$0.12 \pm 0.02$
Eosi (%)	$0.04 \pm 0.01$	$0.04 \pm 0.01$	$0.03 \pm 0.01$	$0.02 \pm 0.01*$
Baso (%)	$0.010 \pm 0.007$	$0.008 \pm 0.004$	$0.006 \pm 0.005$	$0.006 \pm 0.005$
a. Mean ± SD				

\*: Mean ± SD

\*,\*\*\*: Significantly different from control group at p<0.05, p<0.01. (Dunnett's test.)

Abbreviations; RBC, red blood cell; HGB, hemoglobin; HCT, hematocrit; MCV, mean corpuscular volume; MCH, mean corpuscular hemoglobin; MCHC, mean corpuscular hemoglobin concentration; RET, reticulocyte; PLT, platelet; WBC, white blood cell; Neut, neutrophil; Eosi, eosinophil; Baso, basophil; Lymp, lymphocyte; Mono, monocyte.

別添 4

Table 3 Serum biochemistry for male and female F344 rats administered MCA for 4 weeks

Item / Group	0 mg/kg	50 mg/kg	150 mg/kg	500 mg/kg
No. of animals	5	5	5	5
Males				
TP (g/dL)	$5.6 \pm 0.1^{a}$	$5.6 \pm 0.1$	$5.9 \pm 0.1*$	$5.9 \pm 0.1**$
A/G	$3.8 \pm 0.1$	$3.8 \pm 0.2$	$3.7 \pm 0.2$	$4.0 \pm 0.3$
ALB (g/dL)	$4.4 \pm 0.1$	$4.4 \pm 0.1$	$4.6 \pm 0.1*$	$4.7 \pm 0.1**$
T-BIL (mg/dL)	$0.036 \pm 0.009$	$0.032 \pm 0.004$	$0.030 \pm 0.007$	$0.028 \pm 0.004$
GLU (mg/dL)	$147.2 \pm 12.9$	$147.0 \pm 15.7$	110.8 ± 19.0**	$137.4 \pm 17.9$
TG (mg/dL)	$71.4 \pm 15.7$	$63.0 \pm 6.0$	$55.2 \pm 17.4$	$50.4 \pm 16.8$
T-CHO (mg/dL)	$50.8 \pm 2.8$	$44.6 \pm 2.5*$	44.0 ± 3.8**	$45.0 \pm 3.2*$
BUN (mg/dL)	$12.2 \pm 1.2$	$10.9 \pm 1.1$	$11.7 \pm 0.5$	$10.8 \pm 1.2$
CRE(mg/dL)	$0.28 \pm 0.00$	$0.30 \pm 0.02$	$0.29 \pm 0.01$	$0.29 \pm 0.02$
Na (mEQ/L)	$140.8 \pm 0.4$	$140.8 \pm 0.8$	$141.2 \pm 1.1$	$141.4 \pm 0.9$
CI (mEQ/L)	$100.0 \pm 1.0$	$100.8 \pm 0.8$	$101.4 \pm 1.1$	$102.4 \pm 0.5**$
K (mEQ/L)	$4.7 \pm 0.2$	$4.6 \pm 0.2$	$4.9 \pm 0.3$	$4.5 \pm 0.2$
Ca (mg/dL)	$10.8 \pm 0.1$	$10.6 \pm 0.3$	$10.7 \pm 0.2$	$10.6 \pm 0.1$
IP (mg/dL)	$7.2 \pm 0.5$	$6.8 \pm 0.6$	$6.7 \pm 0.9$	$7.1 \pm 0.6$
AST (IU/L)	$79.8 \pm 9.2$	$78.4 \pm 13.3$	$91.8 \pm 7.1$	$80.8 \pm 5.0$
ALT (IU/L)	$63.6 \pm 2.7$	$61.0 \pm 8.7$	$67.0 \pm 9.3$	$60.0 \pm 10.7$
ALP (IU/L)	$424.0 \pm 90.4$	$356.8 \pm 14.6$	$337.6 \pm 36.7$	$292.2 \pm 18.9$ \$
$\gamma$ -GTP (IU/L)	3>	3>	3>	3>
Females				
TP (g/dL)	$5.5 \pm 0.1$	$5.5 \pm 0.1$	$5.5 \pm 0.1$	$5.8 \pm 0.1**$
A/G	$3.8 \pm 0.4$	$4.3 \pm 0.5$	$4.0 \pm 0.3$	$3.8 \pm 0.0$
ALB (g/dL)	$4.3 \pm 0.2$	$4.5 \pm 0.1$	$4.4 \pm 0.0$	$4.6 \pm 0.1$
T-BIL (mg/dL)	$0.042 \pm 0.004$	$0.040 \pm 0.007$	$0.036 \pm 0.005$	$0.038 \pm 0.004$
GLU (mg/dL)	$104.0 \pm 10.2$	$110.6 \pm 15.8$	$126.4 \pm 16.0$	$142.2 \pm 14.2**$
TG (mg/dL)	$61.2 \pm 13.8$	$44.8 \pm 15.9$	$41.6 \pm 11.6$	$46.0 \pm 15.7$
T-CHO (mg/dL)	$51.4 \pm 5.6$	$47.0 \pm 3.7$	$49.0 \pm 3.2$	$60.4 \pm 7.4*$
BUN (mg/dL)	$9.9 \pm 1.4$	$9.9 \pm 1.1$	$9.1 \pm 1.0$	$10.4 \pm 1.0$
CRE(mg/dL)	$0.30 \pm 0.01$	$0.30 \pm 0.02$	$0.29 \pm 0.02$	$0.29 \pm 0.01$
Na (mEQ/L)	$139.8 \pm 0.8$	$139.8 \pm 0.8$	$140.4 \pm 0.9$	$138.8 \pm 0.8$
CI (mEQ/L)	$101.6 \pm 1.3$	$102.8 \pm 1.9$	$103.0 \pm 2.3$	$102.2 \pm 1.3$
K (mEQ/L)	$4.7 \pm 0.2$	$4.6 \pm 0.2$	$4.3 \pm 0.00$ *	$4.5 \pm 0.2$
Ca (mg/dL)	$10.3 \pm 0.2$	$10.2 \pm 0.2$	$10.2 \pm 0.1$	$10.4 \pm 0.1$
IP (mg/dL)	$5.8 \pm 0.7$	$5.7 \pm 0.7$	$5.6 \pm 1.0$	$6.8 \pm 0.5$
AST (IU/L)	$94.2 \pm 4.1$	$89.8 \pm 13.0$	$84.2 \pm 10.7$	$78.0 \pm 5.8*$
ALT (IU/L)	$60.8 \pm 3.9$	$51.4 \pm 8.2$	$54.0 \pm 8.0$	$49.0 \pm 3.1^*$
ALP (IU/L)	$234.2 \pm 37.5$	$220.6 \pm 8.6$	$219.6 \pm 22.0$	$228.2 \pm 8.4$
γ-GTP (IU/L)	3>	3>	3>	3>
a: Mean ± SD				

\*: Mean ± SD
\*: \*\*\*: Significantly different from control group at p<0.05, p<0.01. (Dunnett's test.)
\*: Significantly different from control group at p<0.05. (Steel's test.)

Abbreviations; TP, total protein; A/G, albumin/globulin ratio; ALB, albumin; T-BIL, total bilirubin; GLU, glucose; TG, triglyceride; T-CHO, total cholesterol; BUN, blood urea nitrogen; CRE, creatinine; Na, sodium; CI, chloride; K, potassium; Ca, calcium; IP, inorganic phosphate; AST, aspartate aminotransferase; ALT, alanine aminotransferase; ALP, alkaline phosphatase; y -GTP, gamma glutamyl transceptidese. transpeptidase.

別添 4

Table 4 Histopathological findings in F344 rat treated with MCA for 4 weeks

Findings (±, +, ++, +++)	0 mg/kg	50 mg/kg	150 mg/kg	500 mg/kg
No. of animals	5	5	5	5
Males				
Kidney				
hyaline droplet degeneration, focal, renal tubule	2(1/1/0/0)	1(1/0/0/0)	2(0/2/0/0)	2(1/1/0/0)
Females				
Kidney				
hyaline droplet degeneration, focal, renal tubule	0	0	0	0

Table 5 Body and organ weights data for male gpt delta rats treated with MCA for 13 weeks

Item / Dose		0	mg/	kg	50	mg/	/kg	150	) mg	/kg	500	mg	/kg
No.of animals			10			10			10			9	
Body weight	(g)	281	$\pm$	25ª	296	$\pm$	40	262	$\pm$	23	214	$\pm$	27**
Brain	(g)	1.81	$\pm$	0.04	1.81	$\pm$	0.04	1.78	$\pm$	0.05	1.70	$\pm$	0.05**
	(g/100 g BW)	0.65	$\pm$	0.05	0.62	$\pm$	0.08	0.68	$\pm$	0.05	0.80	$\pm$	0.10**
Thymus	(g)	0.11	$\pm$	0.02	0.09	$\pm$	0.03	0.07	$\pm$	0.02**	0.06	$\pm$	0.02**
	(g/100 g BW)	0.04	$\pm$	0.01	0.03	$\pm$	0.01	0.03	$\pm$	0.01*	0.03	$\pm$	0.01*
Heart	(g)	0.77	$\pm$	0.06	0.80	$\pm$	0.06	0.75	$\pm$	0.05	0.71	$\pm$	0.07
	(g/100 g BW)	0.28	$\pm$	0.01	0.27	$\pm$	0.02	0.29	$\pm$	0.02	0.33	$\pm$	0.04##
Spleen	(g)	0.37	$\pm$	0.02	0.36	$\pm$	0.03	0.32	$\pm$	0.03*	0.26	$\pm$	0.05**
	(g/100 g BW)	0.13	$\pm$	0.01	0.12	$\pm$	0.01	0.12	$\pm$	0.01	0.12	$\pm$	0.01**
Liver	(g)	6.80	$\pm$	0.56	7.08	$\pm$	0.98	6.28	$\pm$	0.55	6.06	$\pm$	0.79
	(g/100 g BW)	2.42	$\pm$	0.08	2.40	$\pm$	0.08	2.40	$\pm$	0.10	2.83	$\pm$	0.11**
Kidneys	(g)	1.37	$\pm$	0.13	1.40	$\pm$	0.13	1.37	$\pm$	0.13	1.28	$\pm$	0.15
	(g/100 g BW)	0.49	$\pm$	0.02	0.48	$\pm$	0.03	0.52	$\pm$	0.02**	0.60	$\pm$	0.03**
Lungs	(g)	0.89	$\pm$	0.06	0.87	$\pm$	0.07	0.87	$\pm$	0.06	0.75	$\pm$	0.07**
	(g/100 g BW)	0.32	$\pm$	0.02	0.30	$\pm$	0.02	0.33	$\pm$	0.02	0.36	$\pm$	0.04*
Testes	(g)	2.56	$\pm$	0.16	2.57	$\pm$	0.15	2.49	$\pm$	0.13	2.13	$\pm$	0.22**
	(g/100 g BW)	0.91	$\pm$	0.06	0.88	$\pm$	0.09	0.96	$\pm$	0.06	1.00	$\pm$	0.05*
Adrenals	(mg)	45.3	$\pm$	6.1	46.5	$\pm$	6.0	47.4	$\pm$	3.6	45.9	$\pm$	4.4
	(mg/100 g BW)	16.2	$\pm$	2.3	16.2	$\pm$	4.0	18.2	$\pm$	1.9	21.8	$\pm$	3.5**
Pituitary gland	(mg)	8.94	$\pm$	0.56	8.30	$\pm$	0.98	8.13	$\pm$	0.58*	8.24	$\pm$	0.70
	(mg/100 g BW)	3.19	$\pm$	0.18	2.83	$\pm$	0.36*	3.11	$\pm$	0.20	3.87	$\pm$	0.34**
Thyroid	(mg)	12.8	$\pm$	1.9	11.6	$\pm$	1.7	11.8	$\pm$	1.2	11.5	$\pm$	1.5
	(mg/100 g BW)	4.56	$\pm$	0.50	3.92	$\pm$	0.51	4.51	$\pm$	0.51	5.41	$\pm$	0.81*
Salivary glands	(g)	0.42	$\pm$	0.03	0.41	$\pm$	0.04	0.40	$\pm$	0.03	0.36	$\pm$	0.04**
	(g/100 g BW)	0.15	$\pm$	0.01	0.14	$\pm$	0.01	0.15	$\pm$	0.02	0.17	$\pm$	0.02*
Seminal vesicles	(g)	0.43	$\pm$	0.09	0.39	$\pm$	0.12	0.32	$\pm$	0.12	0.16	$\pm$	0.09**
	(g/100 g BW)	0.15	$\pm$	0.03	0.13	$\pm$	0.04	0.12	$\pm$	0.04	0.07	$\pm$	0.03**
Prostate	(g)	0.43	$\pm$	0.08	0.38	$\pm$	0.10	0.36	$\pm$	0.06	0.23	$\pm$	0.09**
3.14	(g/100 g BW)	0.15	±	0.03	0.13	±	0.03	0.14	±	0.02	0.10	±	0.02**

<sup>\*:</sup> Mean±SD \*: Significantly different from control group at p<0.05, 0.01. (Dunnett's test.)

別添 4

Table 6 Hematological data for male F344 gpt delta rats administered MCA for 13 weeks

Item / Group	0 mg/kg	50 mg/kg	150 mg/kg	500 mg/kg
No. of animals	10	10	10	9
WBC (x10 $^3$ / $\mu$ L)	$2.8 \pm 0.9$	$2.8 \pm 0.7$	$2.9 \pm 0.4$	$2.7 \pm 0.6$
RBC $(10^4/\mu L)$	$8.8 \pm 0.2^{a}$	$9.2 \pm 0.2$ #	$9.1 \pm 0.2$ #	$8.5 \pm 0.7$
HGB (g/dL)	$14.4 \pm 0.4$	$14.9 \pm 0.4$ #	$14.7 \pm 0.4$	$13.5 \pm 1.7$
HCT (%)	$43.9 \pm 1.2$	$44.9 \pm 1.3$	$43.8 \pm 1.0$	$39.5 \pm 4.3$ #
MCV (fL)	$49.7 \pm 0.7$	$48.8 \pm 0.4$ #	$48.1 \pm 0.5$ ##	$46.3 \pm 1.7$ ##
MCH (pg)	$16.3 \pm 0.2$	$16.2 \pm 0.1$	$16.1 \pm 0.2$	$15.8 \pm 0.8$ #
MCHC (g/dL)	$32.8 \pm 0.5$	$33.2 \pm 0.3$	$33.6 \pm 0.2$ ##	$34.1 \pm 0.8$ #
PLT (x10 $^3$ / $\mu$ L)	$468 \pm 144$	$465 \pm 42$	$467 \pm 71$	$554 \pm 172$
RET (x 10 <sup>3</sup> /mL)	$389 \pm 79$	$307 \pm 48$ #	$313 \pm 24$ ##	$440 \pm 245$
Differential leukocyte counts				
Neut (%)	$0.91 \pm 0.25$	$0.88 \pm 0.14$	$1.08 \pm 0.23$	$1.07 \pm 0.10$
Lymp (%)	$1.77 \pm 0.68$	$1.83 \pm 0.58$	$1.73 \pm 0.35$	$1.51 \pm 0.51$
Mono (%)	$0.09 \pm 0.03$	$0.09 \pm 0.03$	$0.08 \pm 0.02$	$0.09 \pm 0.03$
Eosi (%)	$0.02 \pm 0.01$	$0.01 \pm 0.00$	$0.01 \pm 0.01**$	$0.00 \pm 0.00**$
Baso (%)	$0.01 \pm 0.01$	$0.01 \pm 0.01$	$0.01 \pm 0.01$	$0.00 \pm 0.00$

\*: Mean ± SD

\*,\*\*: Significantly different from control group at p<0.05, p<0.01. (Dunnett's test.)

Abbreviations; RBC, red blood cell; HGB, hemoglobin; HCT, hematocrit; MCV, mean corpuscular volume; MCH, mean corpuscular hemoglobin concentration; RET, reticulocyte; PLT, platelet; WBC, white blood cell; Neut, neutrophil; Eosi, eosinophil; Baso, basophil; Lymp, lymphocyte; Mono, monocyte.

Table 7 Serum biochemistry for male F344 gpt delta rats administered MCA for 13 weeks

Item / Group	0 mg/kg	50 mg/kg	150 mg/kg	500 mg/kg
No. of animals	10	10	10	9
TP (g/dL)	5.2 ± 0.2ª	$5.3 \pm 0.3$	$5.2 \pm 0.2$	4.9 ± 0.2*
A/G	$4.8 \pm 0.6$	$4.9 \pm 0.5$	5.8 ± 0.5**	$6.0 \pm 0.6**$
ALB (g/dL)	$4.3 \pm 0.2$	$4.4 \pm 0.2$	$4.4 \pm 0.1$	$4.2 \pm 0.2$
T-BIL (mg/dL)	$0.06 \pm 0.01$	$0.08 \pm 0.01$	$0.07 \pm 0.01$	$0.08 \pm 0.02*$
GLU (mg/dL)	$146 \pm 22$	$146 \pm 12$	$138 \pm 19$	$131 \pm 31$
TG (mg/dL)	$66.2 \pm 18.2$	$93.5 \pm 34.3$	$76.5 \pm 27.7$	$93.1 \pm 18.9$
T-CHO (mg/dL)	$41.5 \pm 4.3$	$38.4 \pm 2.3$	$38.9 \pm 4.6$	$45.9 \pm 7.1$
BUN (mg/dL)	$6.5 \pm 1.7$	$5.5 \pm 0.5$	$5.5 \pm 0.6$	$6.9 \pm 1.4$
CRE(mg/dL)	$0.38 \pm 0.02$	$0.36 \pm 0.02$	$0.35 \pm 0.01**$	$0.33 \pm 0.01**$
Na (mEQ/L)	$141.7 \pm 1.1$	$142.0 \pm 0.9$	$142.3 \pm 0.7$	$142.0 \pm 0.9$
CI (mEQ/L)	$103.2 \pm 0.6$	$102.9 \pm 0.9$	$103.9 \pm 0.7$	$104.9 \pm 0.9**$
K (mEQ/L)	$4.48 \pm 0.13$	$4.35 \pm 0.18$	$4.36 \pm 0.16$	$4.29 \pm 0.18*$
Ca (mg/dL)	$9.9 \pm 0.2$	$10.0 \pm 0.2$	$9.9 \pm 0.1$	$9.6 \pm 0.2**$
IP (mg/dL)	$5.0 \pm 0.5$	$4.9 \pm 0.5$	$4.7 \pm 0.5$	$5.4 \pm 0.5$
AST (IU/L)	$90.7 \pm 11.6$	$85.1 \pm 7.7$	$82.8 \pm 8.7$	$81.9 \pm 10.2$
ALT (IU/L)	$56.1 \pm 13.8$	$54.2 \pm 8.0$	$59.8 \pm 12.0$	$66.0 \pm 13.9$
ALP (IU/L)	$230 \pm 34$	$232 \pm 38$	$264 \pm 35$	$226 \pm 42$
γ-GTP (IU/L)	3>	3>	3>	3>

\*: Mean ± SD

\*: Mean ± SD

\*: Significantly different from control group at p<0.05, p<0.01. (Dunnett's test.)

S: Significantly different from control group at p<0.05. (Steel's test.)

Abbreviations; TP, total protein; A/G, albumin/globulin ratio; ALB, albumin; T-BIL, total bilirubin; GLU, glucose; TG, triglyceride; T-CHO, total cholesterol; BUN, blood urea nitrogen; CRE, creatinine; Na, sodium; CI, chloride; K, potassium; Ca, calcium; IP, inorganic phosphate; AST, aspartate aminotransferase; ALT, alanine aminotransferase; ALP, alkaline phosphatase; y -GTP, gamma glutamyl transpeptidase.

Figure 1. Chemical structure of 4-methoxycinnamaldehyde (MCA)

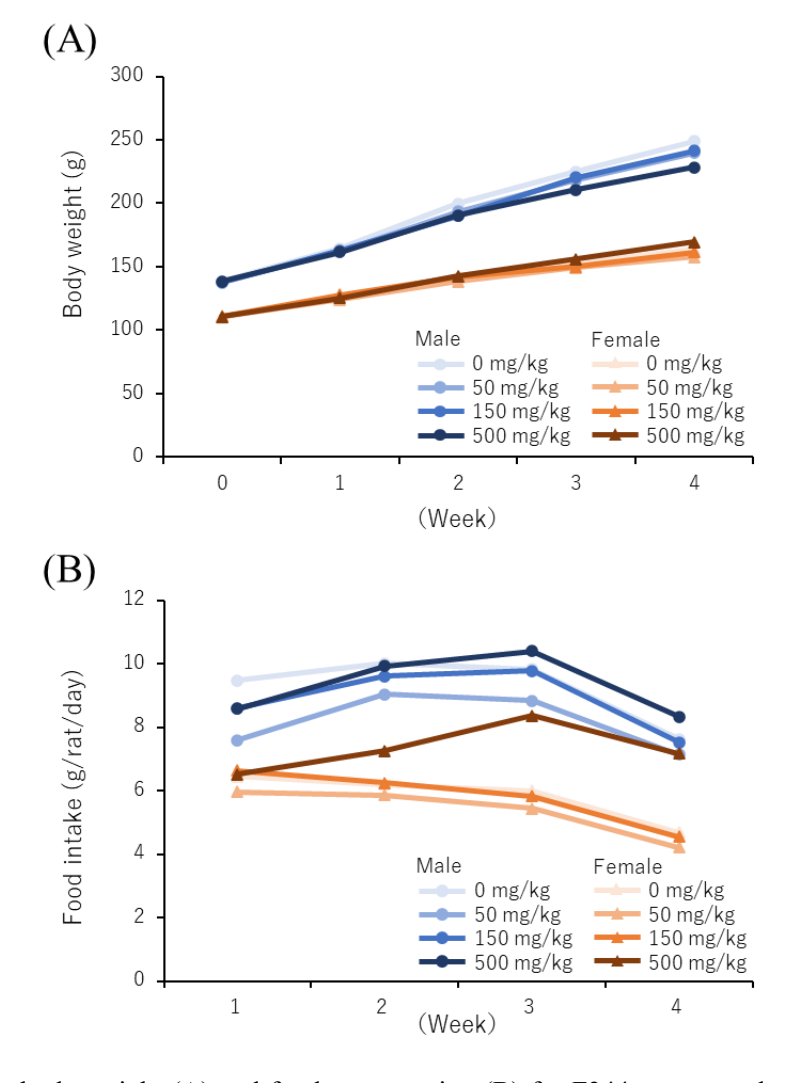


Figure 2. Mean body weight (A) and food consumption (B) for F344 rats treated with MCA for 4 weeks.

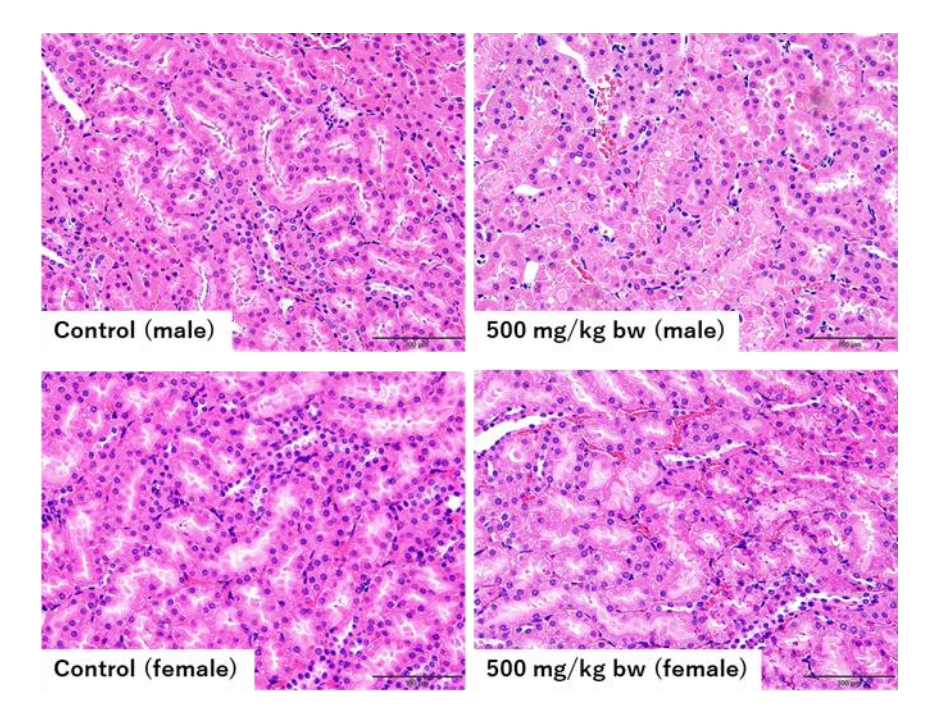


Figure 3 Representative histopathological findings for the kidneys of rat. Hyaline droplet degeneration in the renal tubule were observed in the kidneys of rats treated with 500 mg/kg MCA.

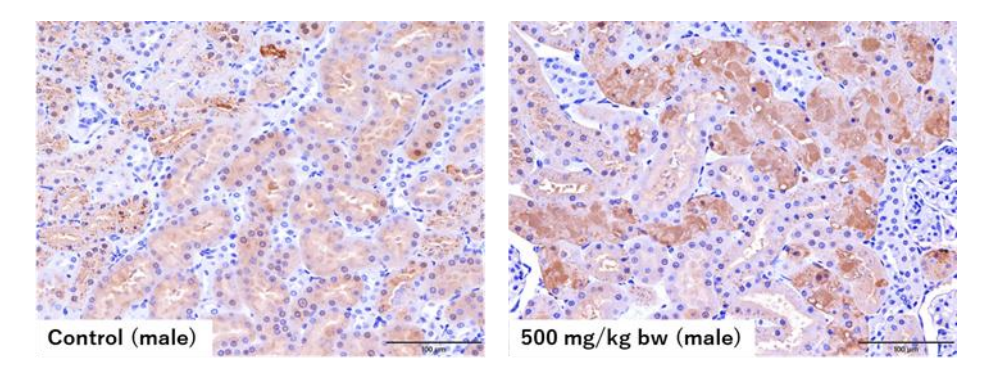


Figure 4 Representative immunohistochemical findings for  $\alpha 2u$ -globulin. In the rats of 500 mg/kg group, hyaline droplet in the renal tubule were positive for  $\alpha 2u$ -globulin.

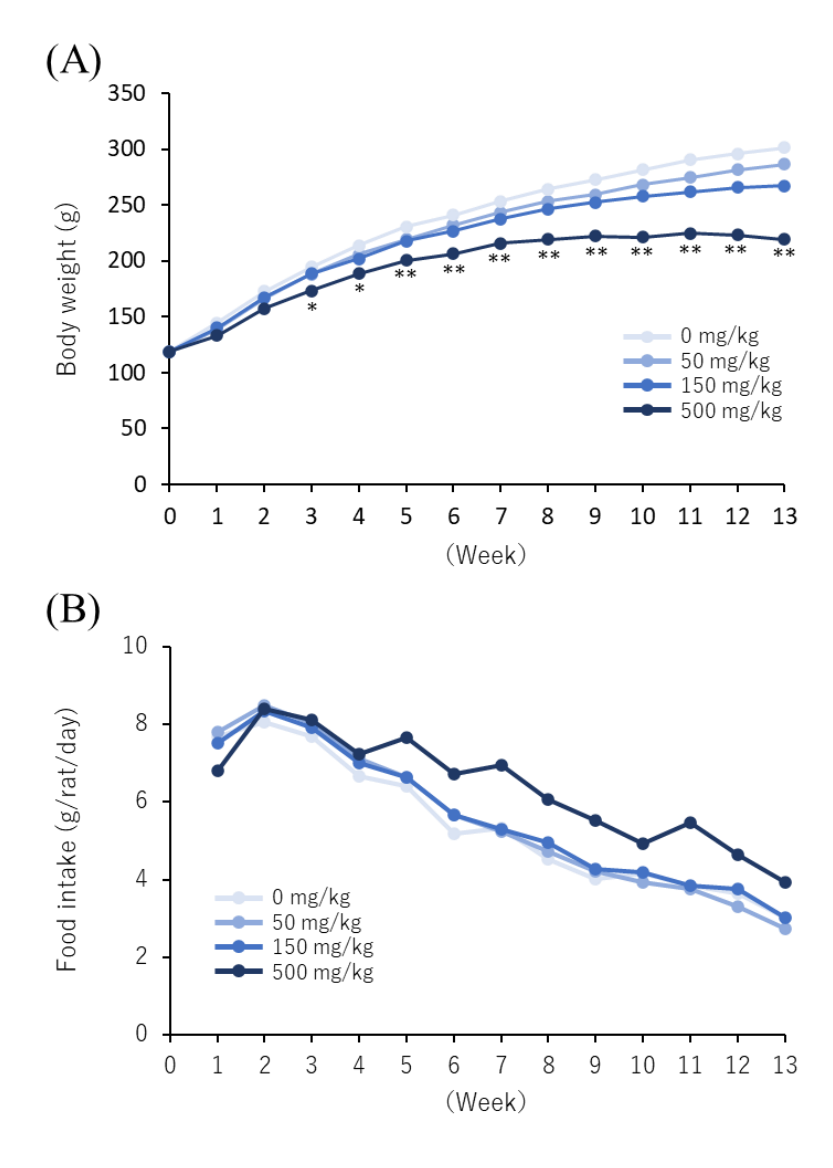


Figure 5 Representative immunohistochemical findings for  $\alpha 2u$ -globulin. In the rats of 500 mg/kg group, hyaline droplet in the renal tubule were positive for  $\alpha 2u$ -globulin.

令和6年度 食品衛生基準科学研究費補助金(食品安全科学研究事業) 香料を含む食品添加物の遺伝毒性評価スキームの構築に関する基盤研究

**分担研究課題名:** DNAメチル化異常を介したゲノム不安定性誘発作用のスクリーニング系の 開発

# 研究分担者 鈴木孝昌

## 研究要旨

DNA メチル化等のエピジェネティックな変化の解析は、化学物質等のゲノム影響を評価するにあたり重要である。従来メチル化の解析には Bisulfite 法など煩雑な操作が必要であったが、我々は、ナノポアシークエンサーを用いて直接メチル化塩基を検出することによる簡便迅速な解析手法の開発を行った。これにより、比較的簡便な手法でDNA のメチル化状態を調べることができれば、DNA メチル化異常を介したゲノム不安定性誘発作用のスクリーニング系として普及できることが期待される。

本手法では、比較的安価で簡便に DNA のシークエンス解析が可能であり、かつ 5-methyl cytosine (5mC)や 5-hydroxymethylcytosine (5hmC)の検出が可能なナノポア型のポータブルシークエンサーである MinION を用い、まずゲノム上のグローバルなメチル化ベベルの検討を行った。実験では、HCT116 細胞由来のメチル化/非メチル化標準 DNA (EpiScope®/TaKaRa) を用いて希釈系列を作成し、ナノポアシークエンサー (MinION)を用いて通常のシークエンス解析を行った。得られた raw data である FAST5 ファイルを Guppy ソフトウエアにて解析し、5 mC を含めたシークエンスコールを行い、ゲノムワイドにグローバルなメチル化頻度 (GMF) を算出するワークフローを本所における共通機器として知用可能なナノポアサーバー上に構築した。

メチル化標準品を用いてシークエンス解析を行った結果、メチル化 DNA の添加割合に従って GMF は直線的に上昇し、定量的な解析が可能であることが示された。また、メチル化を低下させることが知られている 5azaC を陽性対照物質として細胞に処理し、ゲノム DNA のグローバルメチル化を解析した結果、メチル化の減少傾向が認められた。今後は、さらに他の化学物質処理による GMF の変化の検討を行うとともに、部位特異的なメチル化変化の解析へと応用したい。

### 研究目的

近年、がんや神経変性疾患などをはじめとする様々な疾患や老化においてDNAのメチル化の異常が起きていることが報告されている。DNAメチル化異常は、細胞内のエピジェネティックな制御機構の破綻を示す指標となり得る。特に、DNA修復機構の低下やクロマチン構造の変化を伴うメチル化異常は、染色体の異常や遺伝子変異を誘発へとつながる可能性がある。こうした背景から、DNAメチル化異常の検出系開発

は、ゲノムの不安定性のスクリーニングと 化学物質の安全性評価の両面で極めて重 要な意義を持つ。

DNAメチル化の解析にはこれまで様々な手法が用いられてきたが、何れも操作が複雑で会ったり、高額な機器を必要としたりして、一般に普及しうる簡便な手法の開発が望まれていた。最も代表的な手法としては、メチル化シトシンの変換試薬であるBisulfite を用いたバイサルファイトシークエンス法が知られているが、サンプル

調製及びシークエンスデータ解析の複雑さ から簡便な手法とは言い難かった。

しかし、第三世代の一分子シークエンサーとされるナノポア型のシークエンサーの登場により、煩雑な前処理なく直接 DNA メチルを検出できる可能性が出てきた。ナノポア型シークエンサーは、DNA 分子がナノポアを通過する際の電流値変化を読み取り、塩基配列へと変換するが、5mC や 5hmC などの修飾塩基に関しても、それらの電流値変化を学習させることにより、直接読み取ることが可能となる。そこで、このナノポア型のシークエンサーを用いて、簡便な DNA メチル化の解析系を構築することにした。

これまで遺伝毒性の分野においては、主に 突然変異や染色体異常を指標に安全性の評 価を行ってきたが、DNA メチル即ちエピジェ ネティックな異常を誘発するという観点か らは、被験物質の安全性の評価は行われて いなかった。しかし、発がん性物質の評価に おいて、遺伝子突然変異のみならず、エピジ エネティックな変化を指標として組み込む ことで、より包括的なリスク評価が可能と なる。DNA メチル化異常を解析することで、 化学物質が長期的に細胞の機能異常を誘発 するか否かを評価できるため、香料を含む 食品添加物の安全性評価においても有用な 指標となるだろう。こうしたエピジェネテ イック異常の検出系の利用により、将来的 には疾患リスクの予測や予防医学の発展に もつながり事が期待できる。こうした観点 から、簡便迅速なメチル化異常の検出系の 開発を行うことが本研究の目的である。

なお、エピジェネティックな変化としては、 DNA 上のメチル化の変化だけでなく、ヒスト ンのアセチル化等のタンパク質修飾も解析 対象として含まれるが、本研究においては 手法開発の容易さから、DNA 上のメチル化に フォーカスを絞り、短期にスクリーニング 法の開発を達成することを目的とした。

# 研究方法

## 1. メチル化/非メチル化標準 DNA

- EpiScope® methylated HCT116 gDNA (TaKaRa)
- EpiScope® unmethylated HCT116 DKO\* gDNA (TaKaRa)

\*DKO: DNMT1 & DNMT3B double knock out

### 2. 薬剤処理

 ヒト培養細胞 (hTERT RPE1) にメチル化 阻害剤である 5-azacytidine (5azaC)
 を 24 時間処理した。

## 3. ライブラリー調製

細胞より抽出したゲノム DNA (400ng)を用い、Rapid Barcording kit (SQK-RBK004/ONT)によりバーコード化したライブラリーを調整した。

#### 4. シークエンシング

MinION フローセル (FLO-MIN 106D/ONT)
 にて、48 時間シークエンスランを行い、MInKNOW ソフトウエアにより Fast5、及び FASTQ ファイルを生成した

#### 5. データ解析

所内のナノポアサーバーPC (Intel Xeon Gold 28corex2) 上に、ナノポアシークエンサーの Raw data である Fast5 ファイルよりメチル化情報を持った modBAM ファイルを生成し、グローバルな DNA メチル化レベルを測定でき

### 別添 4

るシステムを構築した。(GeneBay 社に 委託)

### 研究結果

ナノポアシークエンサーから得られたシークエンス解析データより DNA メチル化レベルを解析するためのワークフローを図1に示す。ナノポアシークエンサーより得られる Raw data である Fast5ファイルは、DNAがナノポアを通過する際の電流値変化データであり、これをインプットファイルとして DNA メチル化レベルを測定するデータ解析ワークフローを、所の共有ナノポアサーバー上に構築した。

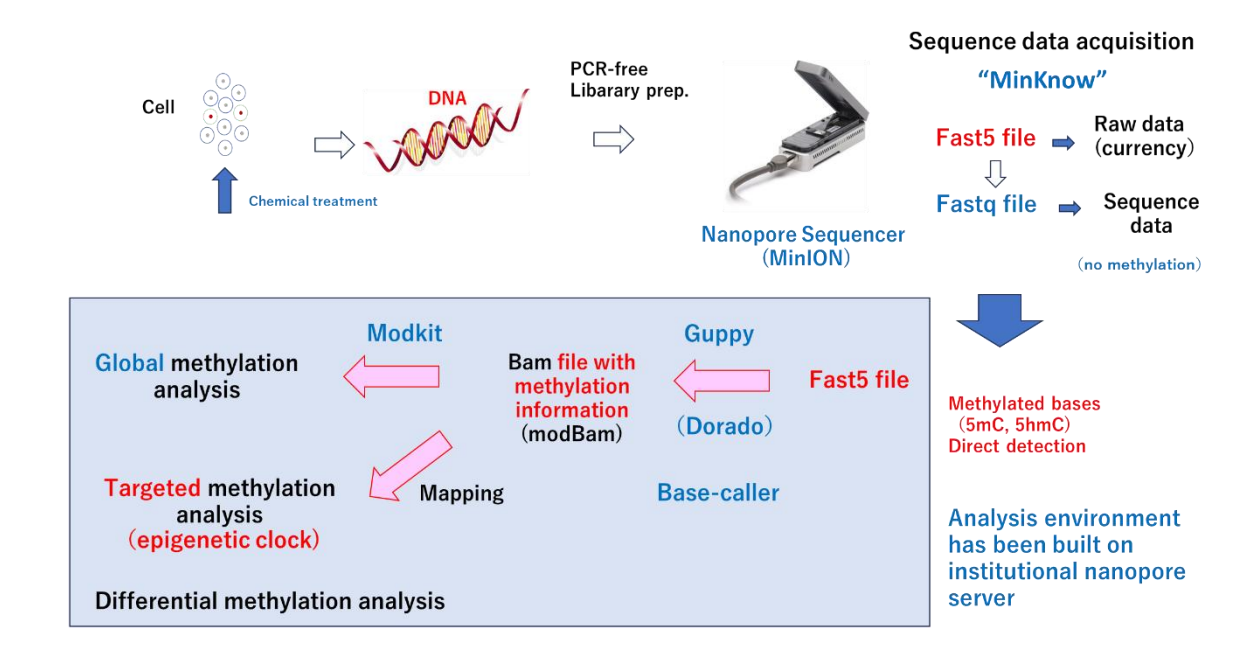
データ解析ワークフローは、まずインプットデータである Fast5 ファイルをナノポア社の提供する Guppy ソフトウエア (将来的には Dorado ソフトウエアに更新) を用いて、メチル化情報を含んだ modBam ファイルに変換し、これを Modkit ソフトウエアによ

りグローバルメチル化レベルの情報に変換する。なお、将来的には、この modBam ファイルをマッピングすることにより、部位特異的なメチル化レベルの解析へと発展させる予定である。

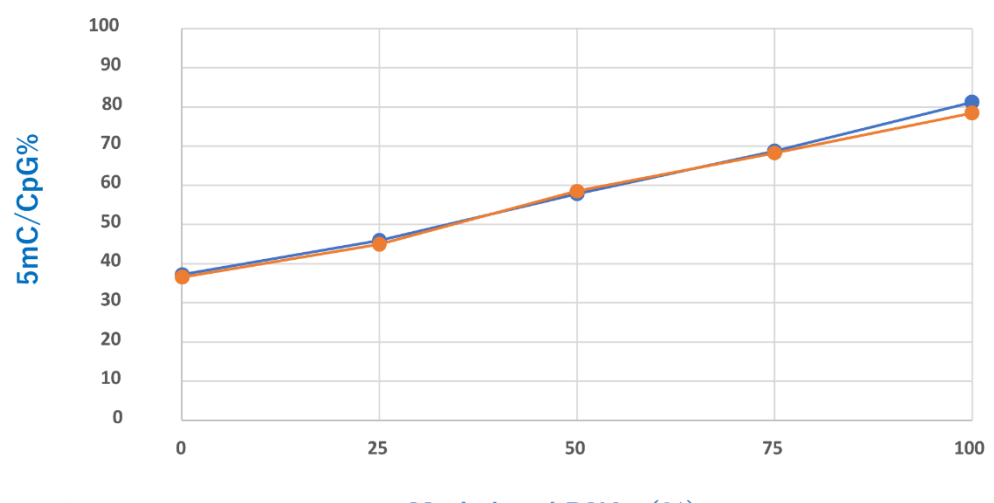
構築したメチル化解析ワークフローを用いて DNA メチル化レベルを定量的に解析可能かを検証する目的で、完全メチル化及び非メチル化された HCT116 gDNA 標準品(EpiScope®/TaKaRa)を用いて希釈系列を作成し、測定を行った。

その結果、図2に示すように、DNAメチル 化レベルに用量相関性のある測定結果が得られた。測定は2回行ったが、非常に再現性 の高いデータが得られた。このことから、本 手法は DNAメチル化レベルを定量的に測定 可能であることが確認できた。

# **図1** Workflow of the epigenetic analysis system by the nanopore sequencer



# **<u>Measurements of the dilution samples of the standards</u>**



Methylated DNA (%)

次に、薬剤処理により DNA メチル化が変化 するかを細胞を用いて検証した。被験物質 としては、DNA に取り込まれることにより DNA メチル化のレベルを落とすことが知ら れている 5-aza cytidine(5azaC)を用いた。 ヒト培養細胞 (hTERT RPE1) にメチル化阻害 剤である 5-azacytidine (5azaC)を 24 時間 処理した後、細胞よりゲノム DNA を抽出し、 Rapid Barcording kit を用いてナノポアシ ークエンサー用のライブラリー調製を行っ た (PCR free)。作製したライブラリーを MinION でシークエンス解析し、得られた Fast5ファイルから、グローバル DNA メチル 化を解析した結果を表1に示す。この際、解 析システムの構築が間に合わなかったため、 一部手計算にて処理を行った。Guppy ベース コーラーでは、CpG サイトのメチル化のみを 対象としているため、DNA メチル化量の解析 はは、CpG サイト当たりの 5mC の C に対する 割合として算出される。

いずれのサンプルにおいても、20 満 - 70 万塩基対程度の塩基数について解析を行い、解析対象となった CpG サイトの数は 3000-8000 程度となった。初回の実験においてコントロールでの 5mC の割合は約 42%であり、5azC 処理によりその頻度は低下したが、用量相関性は見られなかった。コントロールと最高用量のみを再試験した結果、同様にメチル化割合の低下がみられたが、初回の実験よりやや高めの値が得られた。

## 考察

標準希釈系列サンプルを用いた測定から、本試験系において DNA メチル化の割合を再現性高く定量的に測定可能なことがわかった。ただし、メチル化割合の絶対値に関しては、理論値(0<sup>-</sup>100%)とは異なるため、Bisulfite 法など既存の手法を用いて検証を行う予定である。

一方で、細胞にメチル化阻害剤を処理した実験からは、5azaC 処理によるメチル化割

合の減少が見られたが、用量依存性が認められなかったことと、変化がそれほど大きくなかったことから、今後さらに他の陽性物質を用いた検証を行う予定である。

今回の検討においては、MinION という比 較的安価で入手しやすいシークエンサーを 用いて、Barcording kit により多検体を一 度に混合してシークエンス解析することに より、簡便、迅速に DNA メチル化の解析が可 能であることが確認できた。得られた数値 の信頼性に関しては今後更なる検証が必要 であるが、簡便な解析法として普及できる 可能性は確認できた。今回はグローバルな メチル化の解析にとどまったが、この目的 であればシークエンスデータ量をそれほど 必要としないため、一回のランで10サンプ ル程度を同時に解析しても十分なデータ量 が得られることがわかった。今後は、さらに データ量を増やし、最終的に得られた modBam ファイルをマッピングすることによ り部位特異的にメチル化状態を調べること も可能となる。近年加齢の指標となる Clock

遺伝子のメチル化など、特定遺伝子(プロモーター部位)のメチル化が細胞機能の調節に関わる重要な指標となりうることが知られてきており、遺伝子ごとの部位特異的メチル化を調べることにより、より詳細な細胞機能への影響としてのゲノム毒性を評価できる可能性がある。来年度は、このような方向へも研究は発展させていきたい。

## 結論

ナノポア型シークエンサーMinION を用いて、簡便迅速にゲノム DNA のメチル化を解析する系を構築した。メチル化標準サンプルを用いた検討から、メチル化の度合に相関した再現性の高い定量結果が得られた。また、メチル化を低下させることが知られている 5azaC 処理によるゲノムのグローバルメチル化の減少が検出できたことから、化学物質によるゲノム DNA メチル化の変化を簡便にスクリーニングできる可能性が示唆された。

表1 <u>5 azaC処理によるメチル化の変化</u>

Barcode	Treatment co	onc(μM)Tot	al readsT	otal base	Total C	Total CpG	CpG %	Total 5mC	5mC/CpG%*	5mC/C%
1	5azaC	0	143	472334	95790	5861	1.91	3166	41.86	3.27
2	5azaC	1	178	437189	95769	7108	2.44	2512	27.90	2.68
3	5azaC	10	72	208471	43662	2965	2.54	982	28.34	2.63
4	5azaC	100	104	292409	63131	4630	2.26	1963	32.70	2.97
再試験										
1-1	5azaC	0	189	709225	147549	8176	1.38	5014	57.31	3.27
1-2	5azaC	0	166	457088	121157	6262	1.34	3611	53.66	3.05
4-1	5azaC	100	175	563675	119936	6751	1.23	3467	50.05	2.83
4-2	5azaC	100	126	373224	78676	4688	1.31	2591	49.94	3.00

<sup>\*</sup> average of each read

5azaC処理により5mC含量は下がる傾向

## 健康危険情報

特になし

# 研究発表

# 論文発表

- 1. Furihata C., Suzuki T. Four functional genotoxic marker genes (Bax, Btg2, Ccng1, and Cdkn1a) discriminate genotoxic hepatocarcinogens from nongenotoxic hepatocarcinogens and non-genotoxic nonhepatocarcinogens rat in public data, toxicogenomics Open GATEs. Genes Environ. 2024; 46: 28.
- 2. Hosoi S, Hirose T, Matsumura S, Otsubo Y, Saito K, Miyazawa M, Suzuki T, Masumura K, Sugiyama KI Effect of sequencing platforms on the sensitivity of chemical mutation detection using Hawk-Seq<sup>TM</sup>. Genes Environ. 2024;46:20.
- 3. Corton JC, Auerbach SS, Koyama N., Mezencev R., Yauk CL., Suzuki T. Review and meta-analysis of gene expression biomarkers predictive of chemical-induced genotoxicity *in vivo*. Environ. Mol. Mutagen. 2025: doi: 10.1002/em.22646.
- 4. Froetschl R., Corton JC., Li H.,
  Aubrecht J., Scott S. Auerbach SS.,
  Caiment F., Doktorova TY., Fujita Y.,
  Jennen D., Koyama N., Meier MJ.,
  Mezencev R., Recio L., Suzuki T.,
  Yauk CL. Consensus findings of an
  IWGT Workshop on using

- Transcriptomic Biomarkers to Predict Genotoxicity. Environ. Mol. Mutagen. 2025: doi: 10.1002/em.22645
- 5. 築茂由則,吉田徳幸,大岡伸通,内田恵理子,鈴木孝昌,米満研三,上間匡,本間正充,合田幸広,井上貴雄:共通ウイルスゲノム RNA を用いた COVID-19 診断用核酸増幅検査薬の一斉性能評価試験. 医薬品医療機器レギュラトリーサイエンス,2024:55:295-310.
- 6. Ikeuchi S, Hirose S, Shimada K, Koyama A, Ishida S, Katayama N, Suzuki T, Tokairin A, Tsukamoto M, Tsue Y, Yamaguchi K, Osako H, Hiwatashi S, Chiba Y, Akiyama H, Hayashidani H, Hara-Kudo Y. Isolation of Shiga Toxin-Producing Escherichia coli from the Surfaces of Beef Carcasses in Slaughterhouses in Japan. J Food Prot. 2024: 87:100263.

### 学会発表

- 鈴木孝昌 様々な EC-NGS 法の特徴 日本環境変異原ゲノム学会第84回 MMS 研究会,東京都 (2024.6)
- 鈴木孝昌 Error-corrected next generation sequencing (ecNGS)の現 状 第 51 回日本毒性学会学術年会 福岡市 (2024.7)
- 3. 鈴木孝昌, 尤馨悦, 伊澤和輝, 津田雅 貴, 本間正充, 欒洋, 杉山圭一. PECC-Seq 法の開発から学ぶエラー 修正 NGS(ecNGS)法の残存エラーの 要因 第 83 回日本癌学会学術総会, 福岡市 (2024.9)

## 別添 4

- 4. 鈴木孝昌, 西川可穂子. 河川水のメタ ゲノム解析による細菌叢と薬剤耐性 遺伝子の探索 日本環境変異原ゲノム 学会第53回大会, 岡山市(2024.12)
- 5. 鈴木孝昌, 杉山圭一. ナノポアシーク エンサーを用いた簡便迅速な DNA メチル化解析手法の開発 日本環境変 異原ゲノム学会第 53 回大会, 岡山市 (2024.12)
- 6. 降旗千惠, 鈴木孝昌. *In vivo* トキシコゲノミクス試験に有用な4つの遺伝毒性マーカー遺伝子(Bax, Btg2, Ccng1, Cdkn1a) 日本環境変異原ゲノム学会第 53 回大会, 岡山市(2024.12)
- 7. 東航平, 鈴木孝昌, 青木康展, 山田雅 巳. 魚類腸内細菌叢解析を用いた水

- 環境中の界面活性剤のモニタリング に関する研究 日本環境変異原ゲノム 学会第53回大会, 岡山市 (2024.12)
- 8. "Error-corrected next-generation sequencing (NGS)" as an ultimate tool for genetic toxicology 第47回 インド環境変異原学会年会 アンナマライ/インド (2025.1)

# 知的財産権の出願・登録状況

なし

## 特許取得

なし

### 実用新案登録

なし